

# Optimierverfahren für $n=1$

## 1. simulative Methoden

1.1. Raster

1.2. Monte - Carlo

keine Polstellen

keine Singularitäten

## 2. segmentielle Methoden

Monotonität

### 2.1 Intervallteilung

2.1.0 Halbierungsverfahren

2.1.1 Fibonacci

2.1.2 goldenes Schnitt

### — Einschachtelung

### 2.2 Interpolation

stetig, stetig diff.

2.2.1 Regula falsi / Sekantenmeth.

2.2.2 Newton - Raphson Q1

2.2.3 Lagrange

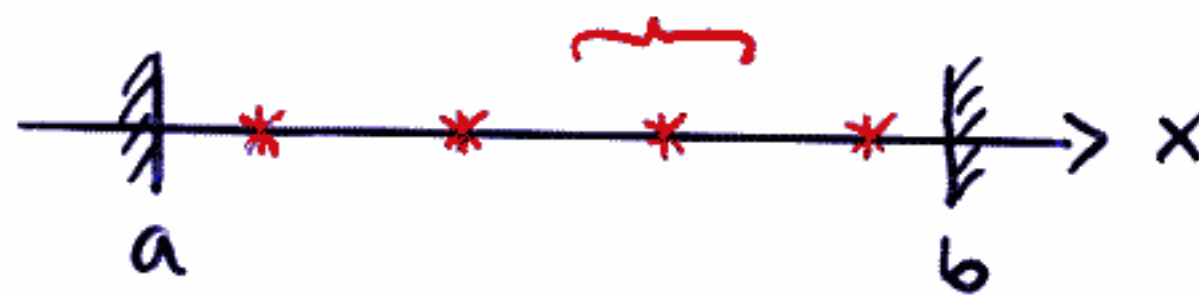
2.2.4 Hermite

Hinweis auf Bücher

# Optimierverfahren für $n=1$

## 1. simultane Methoden (Intervall $a \leq x \leq b$ geg.)

### 1. 1. Ritter - bzw. Raster - Methode



4 Proben äquidistant : Restintervall  $\frac{1}{4}(b-a)$

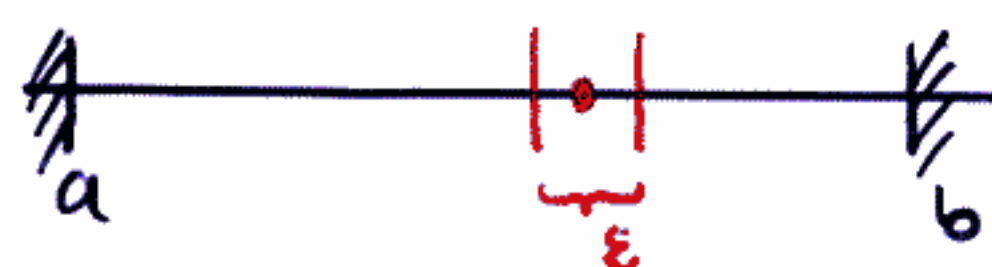
$$N \geq \frac{1}{\varepsilon} (b-a)$$

$\Rightarrow$  bei gegebener Genauigkeitsforderung  $\varepsilon$

$$N \leq \frac{b-a}{\varepsilon} + 1 ; N \text{ ganz}$$

### 1. 2. Monte-Carlo - Methode

im Intervall gleichverteilte Zufallsproben



$$1 \text{ Versuch} \quad p_1 = \frac{\varepsilon}{b-a} \quad \text{Trefferwahrsch.}$$

$$\bar{p}_1 = 1 - \frac{\varepsilon}{b-a}$$

$$N \text{ Versuche} \quad \bar{p}_N = \left(1 - \frac{\varepsilon}{b-a}\right)^N$$

$$p_N = 1 - \left(1 - \frac{\varepsilon}{b-a}\right)^N$$

d.h. mit dieser Wahrsch. mind. 1 Versuch im  $\varepsilon$ -Intervall

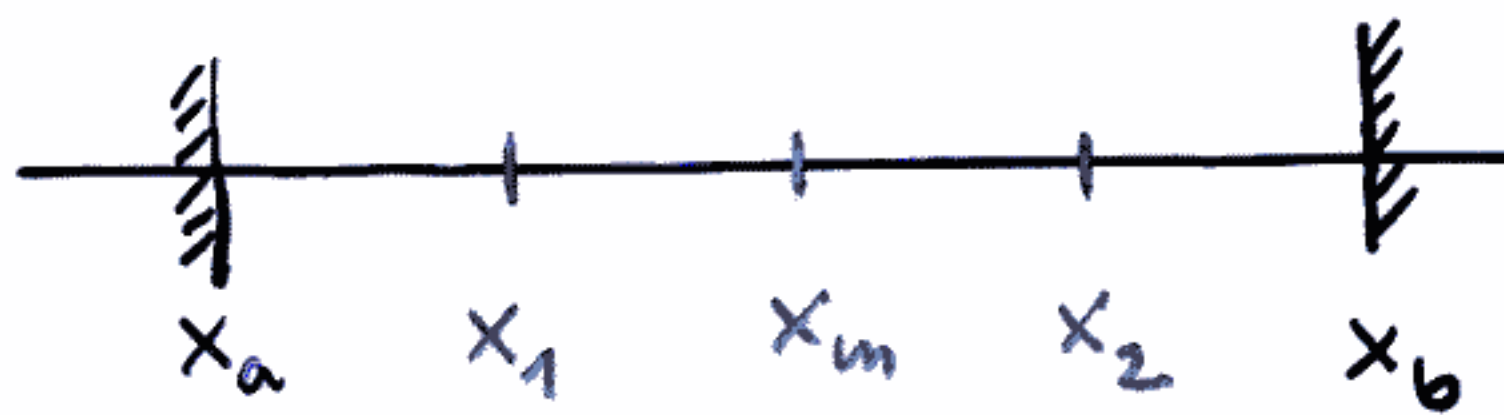
$$N = \frac{\ln(1-p_N)}{\ln(1 - \frac{\varepsilon}{b-a})} \approx -\frac{b-a}{\varepsilon} \ln(1-p_N) \quad \uparrow \text{für } \varepsilon \ll (b-a); \ln(1-x) \approx -x$$

$$p_N = 0.63 \quad N = 1 \cdot \frac{b-a}{\varepsilon}$$

$$p_N = 0.90 \quad N = 2.3 \cdot \frac{b-a}{\varepsilon}$$

## 2.1 sequentielle Methoden für $n=1$

### 2.1.0 Intervall-Halbierungsmethode



**Schritt**

- 1 Setze  $x_m = \frac{1}{2}(x_a + x_b)$ ;  $l = x_b - x_a$ ; berechne  $f(x_m)$
- 2 Setze  $x_1 = x_a + \frac{l}{4}$  und  $x_2 = x_b - \frac{l}{4}$   
und berechne  $f(x_1)$  und  $f(x_2)$
- 3 Vergleiche  $f(x_1)$  mit  $f(x_m)$   
Wenn  $f(x_1) < f(x_m)$ , eliminiere  $(x_m, x_b)$   
und setze  $x'_b = x_m$ ;  $x'_m = x_1$   
und gehe zu Schritt 5.
- 4 Vergleiche  $f(x_2)$  mit  $f(x_m)$   
Wenn  $f(x_2) < f(x_m)$ , eliminiere  $(x_a, x_m)$   
und setze  $x'_a = x_m$ ;  $x'_m = x_2$   
und gehe zu Schritt 5,  
sonst eliminiere  $(x_a, x_1)$  und  $(x_2, x_b)$   
und setze  $x'_a = x_1$ ,  $x'_b = x_2$ ,  $x'_m = x_m$ .
- 5 Falls  $l' = x'_b - x'_a < \varepsilon$ , beende die Suche,  
sonst gehe zu Schritt 2 unter Verwendung  
der  $x'$ -Größen als neue  $x$ .

## Analyse:

Nutzen: in jedem Fall wird das Intervall halbiert

$$l' = \frac{1}{2} l$$

Kosten: außer im 1. Schritt werden pro Iteration  
 $N = 2$  ZFA (Zielfunktionsauswertungen) benötigt

Intervallreduktion pro ZFA:  $\left(\frac{1}{2}\right)^{1/2}$

$$\left(\frac{1}{2}\right)^{N/2} \stackrel{!}{=} \frac{l^*}{l}$$

Bei vorgegebener Genauigkeit  $\epsilon$  werden  
 also etwa

$$N = \frac{2}{\log 2} \log \left( \frac{x_b - x_a}{\epsilon} \right)$$

$N$  aufrunden  
 $N$  gerade

Auswertungen benötigt.

↑ äquidistante 3-Punkt-Suche

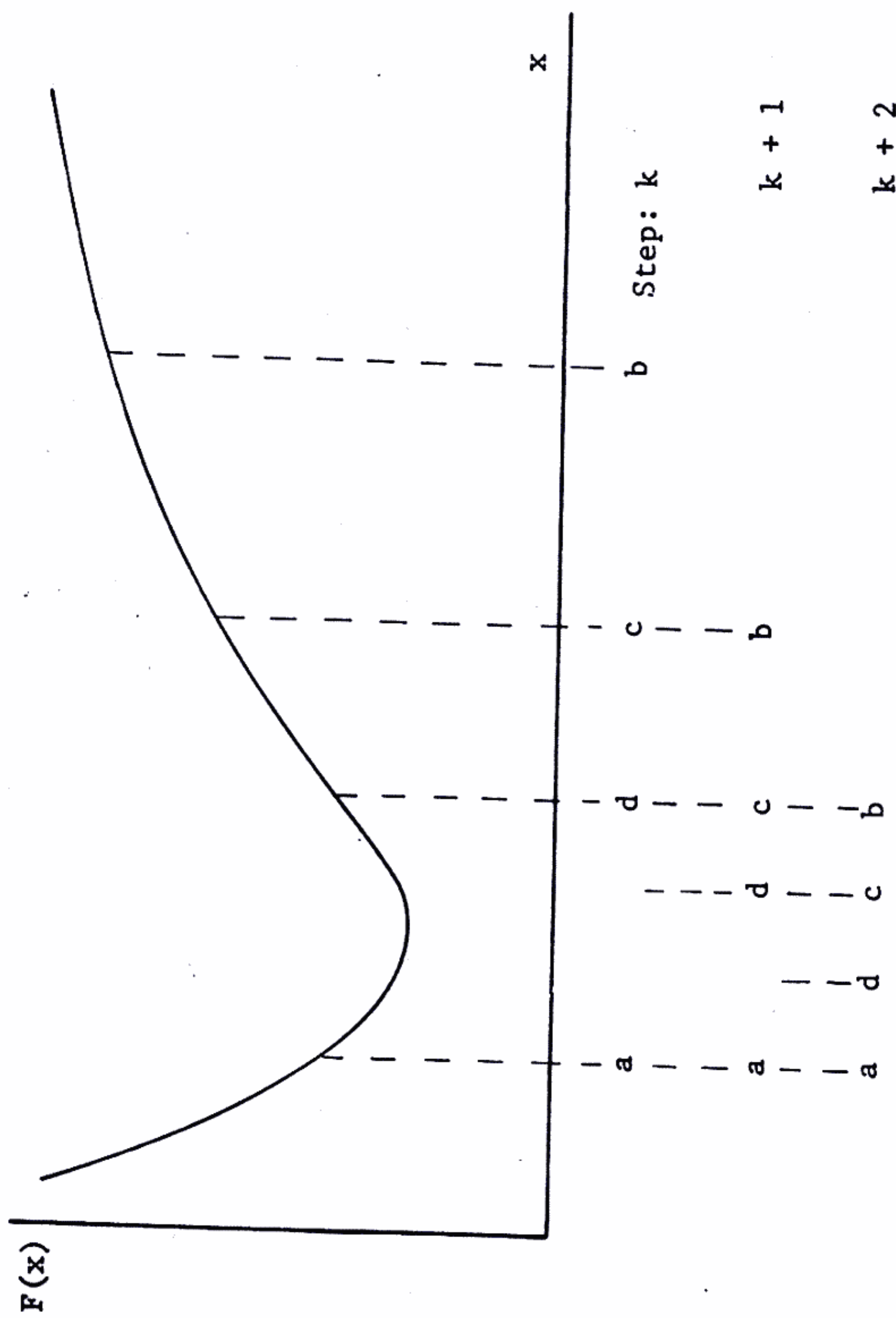
Voraussetzungen: Unimodalität

nicht: Stetigkeit

Differenzierbarkeit

Kiefer, 1957: Unter allen sequentiellen äquidistanten  
 $n$ -Punkt Intervallteilungsverfahren ist Strategie  
 mit  $n=3$  optimal

Interval division in the Fibonacci search



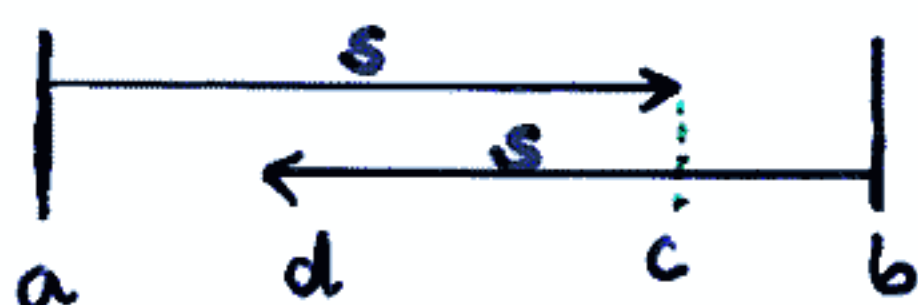
## 2. sequentielle Verfahren

## 2.1 Intervallteilungsverfahren

z. B. Fibonacci - Methode

$$f_N = f_{N-1} + f_{N-2} \quad ; \quad f_0 = f_1 = 1$$

$$\approx 1, 1, 2, 3, 5, 8, 13, 21, \dots$$



$$c^{(k)} = a^{(k)} + s^{(k)}$$

$$d^{(k)} = b^{(k)} - s^{(k)}$$

$$s^{(k)} = E^{(k)} \cdot (b^{(k)} - a^{(k)}) = b^{(k+1)} - a^{(k+1)}$$

$$t^{(u)} = \frac{f_{N-k-1}}{f_{N-k}}$$

$N$  = Zahl der Unterteilungen  
muß zuvor festgelegt werden

Wenn  $F(d^{(k)}) < F(c^{(k)})$  :  $a^{(k+1)} = a^{(k)}$   
 $b^{(k+1)} = c^{(k)}$

> :  $a^{(k+1)} = d^{(k)}$   
 $b^{(k+1)} = b^{(k)}$

$$N \sim \log \frac{b^{(0)} - a^{(0)}}{\epsilon}$$

oft vorzeitig  $F(d^{(k)}) = F(c^{(k)})$

dann besser:  $t^{(k)} = \frac{2}{1+\sqrt{5}} \approx 0.618$

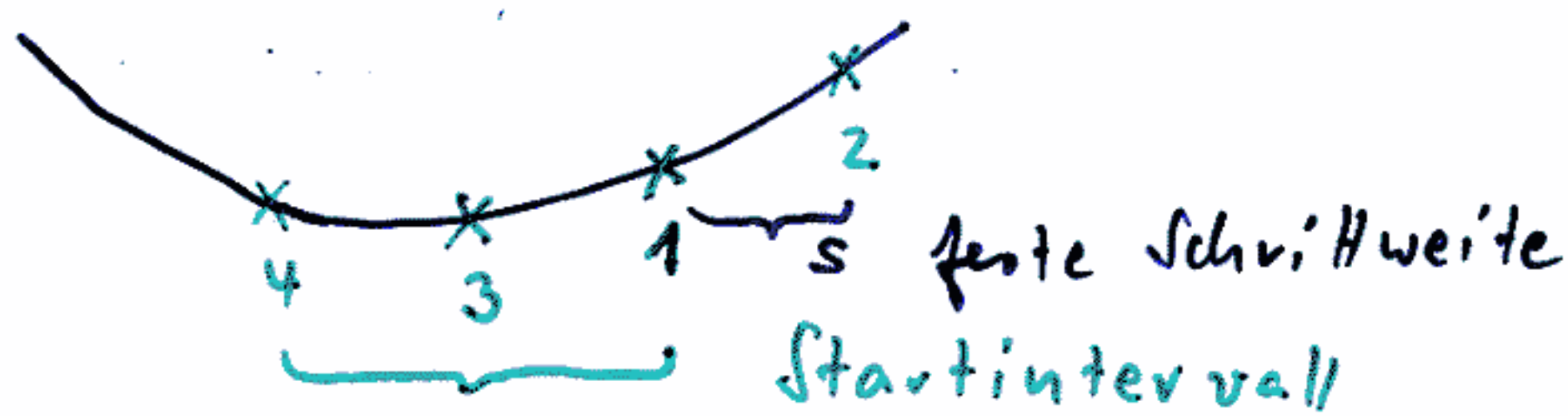
## Teilung nach dem goldenen Schnitt

$$[ \text{ans} \quad t^2 + t = 1 ]$$

max. 12% Versuche mehr; oft weniger

Aufgangsintervall muß vorgegeben werden (Einschätzungsverfahren)  
Unimodalität wird vorausgesetzt  
(nicht: Stetigkeit, Differenzierbarkeit)

## Einschachtelungsverfahren (für Start-Intervall)



evtl. Schrittweite verdoppeln, wenn es „abwärts“ geht  
nach Richtungsumkehr halbieren

### 2. 2 Interpolationsverfahren

benötigen kein Startintervall

Konvergenz meist nur dann gewichert, wenn Start nahe Minimum

Verfahren wie bei Nullstellen - Bestimmung

#### 2. 2. 1 Regula falsi

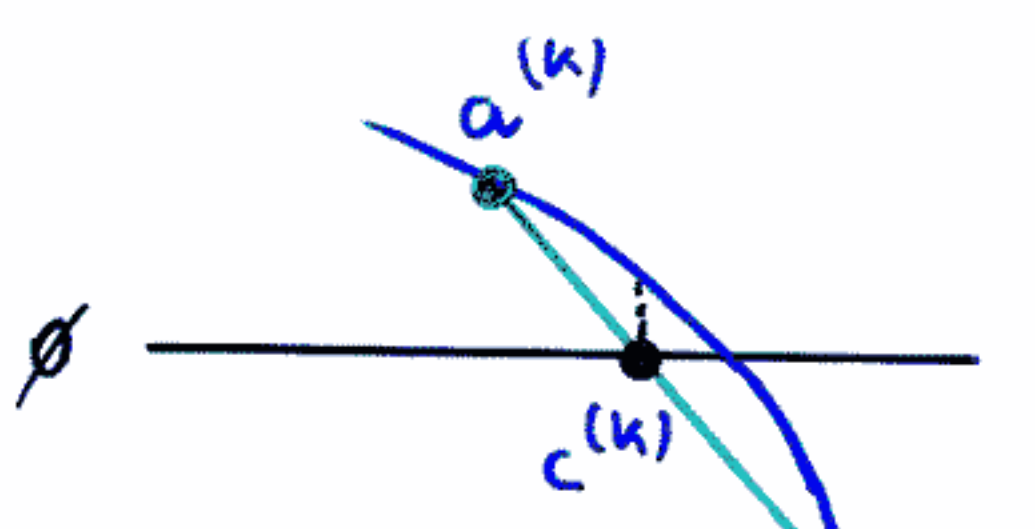
a. für Nullstelle

2 Stützpunkte

2 Funktionswerte

$a^{(k)}, b^{(k)}$

$F(a^{(k)}), F(b^{(k)})$



$$c^{(k)} = a^{(k)} - \frac{a^{(k)}}{F(b^{(k)}) - F(a^{(k)})} (b^{(k)} - a^{(k)})$$

$c^{(k)}$  ersetzt  $a^{(k)}$  oder  $b^{(k)}$  so daß

$$\text{sign}(F(c^{(k)})) \neq \text{sign} \begin{cases} F(a^{(k)}) \\ F(b^{(k)}) \end{cases}$$

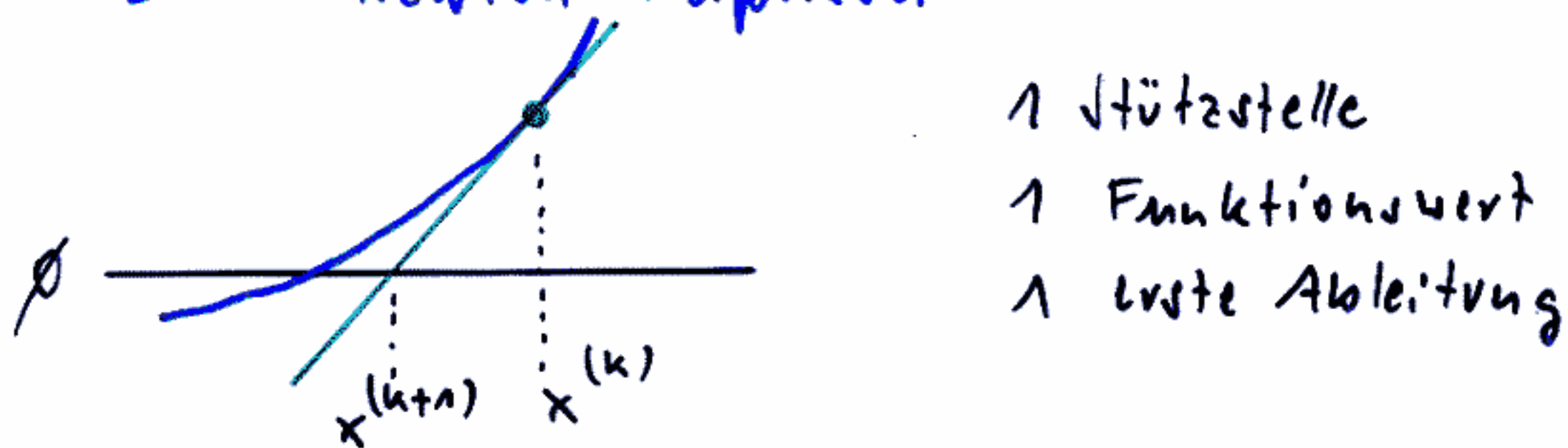
Wenn  $\text{sign}(F(a^{(k)})) = \text{sign}(F(b^{(k)}))$ : Sekantenmeth.

Ablösung:  
 $\frac{\partial}{\partial x} f(x) = 0$   
 $\frac{\partial^2}{\partial x^2} f(x) > 0$

6. Regula falsi für Max. bzw. Min. suche:

$$c^{(k)} = a^{(k)} - F_x(a^{(k)}) \frac{b^{(k)} - a^{(k)}}{F_x(b^{(k)}) - F_x(a^{(k)})}$$

### 2.2.2 Newton-Raphson



$$x^{(k+1)} = x^{(k)} - \frac{F(x^{(k)})}{F_x(x^{(k)})} \quad \text{für Nullstelle}$$

$$x^{(k+1)} = x^{(k)} - \frac{F_x(x^{(k)})}{F_{xx}(x^{(k)})} \quad \text{für Extremum}$$

Wenn  $F(x)$  quadratisch, dann Lösung in einem Schritt

z. B.  $F(x) = (x-3)^2 = x^2 - 6x + 9$  / Max.  
 $F_x(x) = 2x - 6$

$$F_{xx}(x) = 2$$

$$x_0 = 1 \quad x_1 = 1 - \frac{-4}{2} = 1 + 2 = 3$$

z. B.  $F(z) = z^3 - 1$  / Nullst.

$$F_z(z) = 3z^2$$

$$z_{k+1} = z_k - \frac{z_k^3 - 1}{3z_k^2} = \frac{2}{3} z_k + \frac{1}{3z_k^2}$$

drei Nullstellen mit unterschiedl. Einzugsbereichen  
Grenzen der Einzugsbereiche fraktal!

**Example**

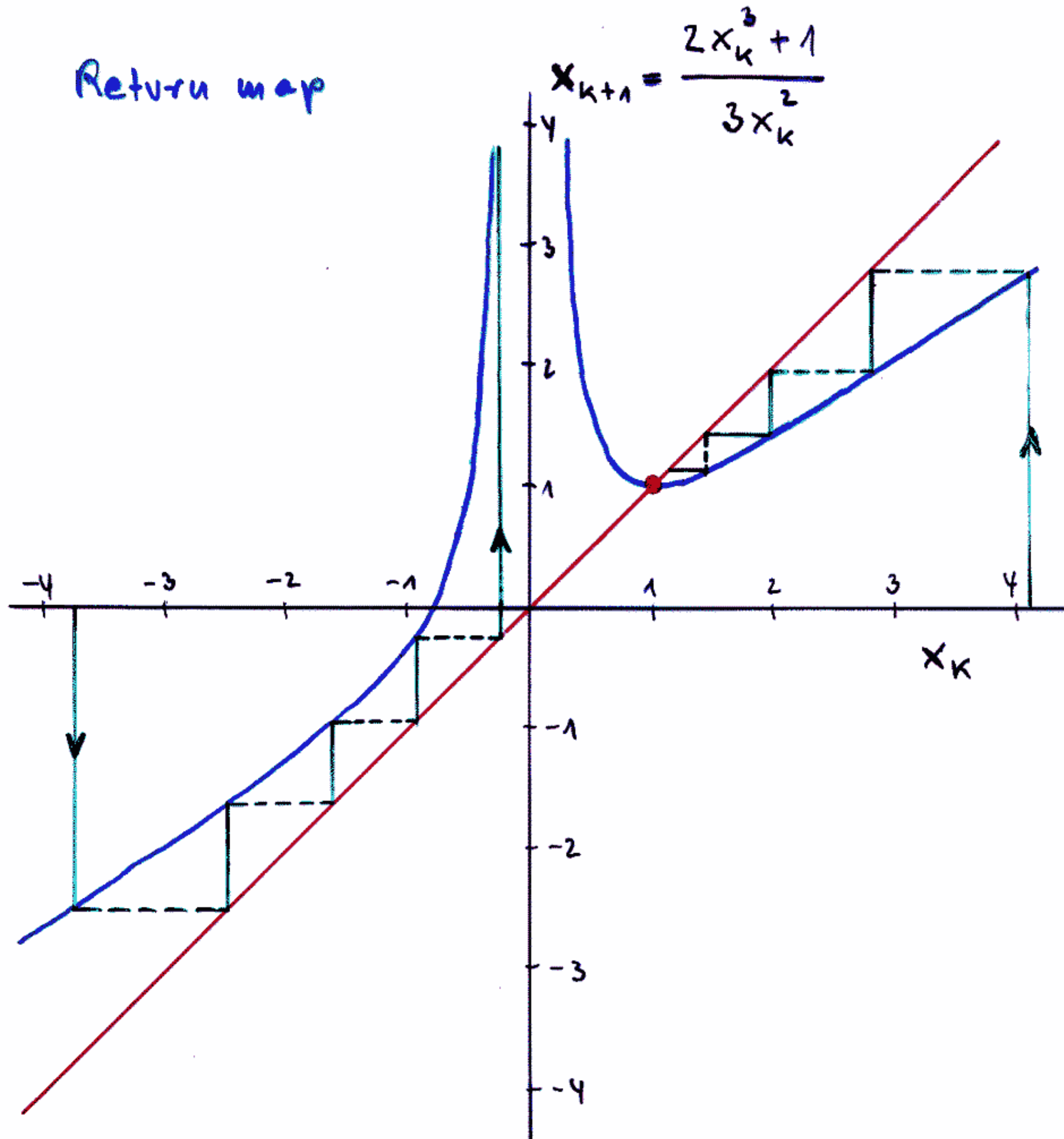
$$q(x) = \frac{1}{4}x^4 - x \rightarrow \min$$

$$p(x) = q'(x) = x^3 - 1 \rightarrow 0 \quad \text{necessary condition}$$

$$\text{Newton-Iteration: } x_{k+1} = x_k - \frac{p(x)}{p'(x)}$$

$$x_{k+1} = x_k - \frac{q'(x)}{q''(x)}$$

Return map



Newton-Raphson

- 101 -

für  $z^3 = 1$

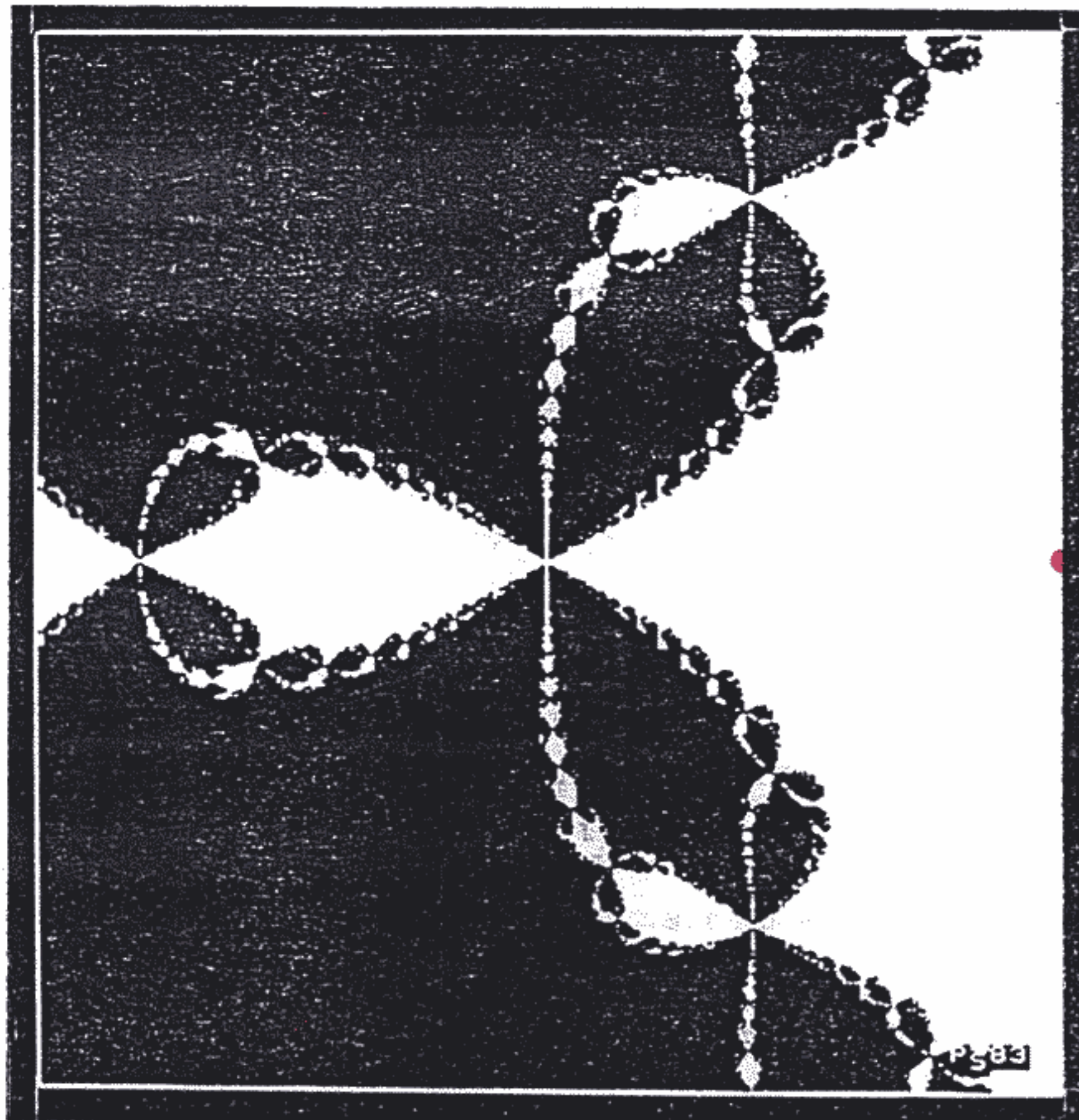


Figure 1: Spatial pattern of the town RGB. The customers of shop R are shown in white

#### Cayley's Problem

In 1879 A.Cayley /Ca1/ suggests the extension of what he calls the Newton-Fourier Method

$$N(z_k) := z_{k+1} = z_k - p(z_k)/p'(z_k) \quad (1)$$

to complex roots of a polynomial  $p$ : "... In connexion herewith, throwing aside the restrictions as to reality, we have what I call the Newton-Fourier Imaginary Problem...". Furthermore, he suggests to study the problem globally: "... The problem is to determine the regions of the plane, such that P (initial point) being taken at pleasure anywhere within one region we arrive ultimately at the point A (a root of the problem) ...". In two notes published in 1879 /Ca2/ and 1890 /Ca3/ he takes up the problem

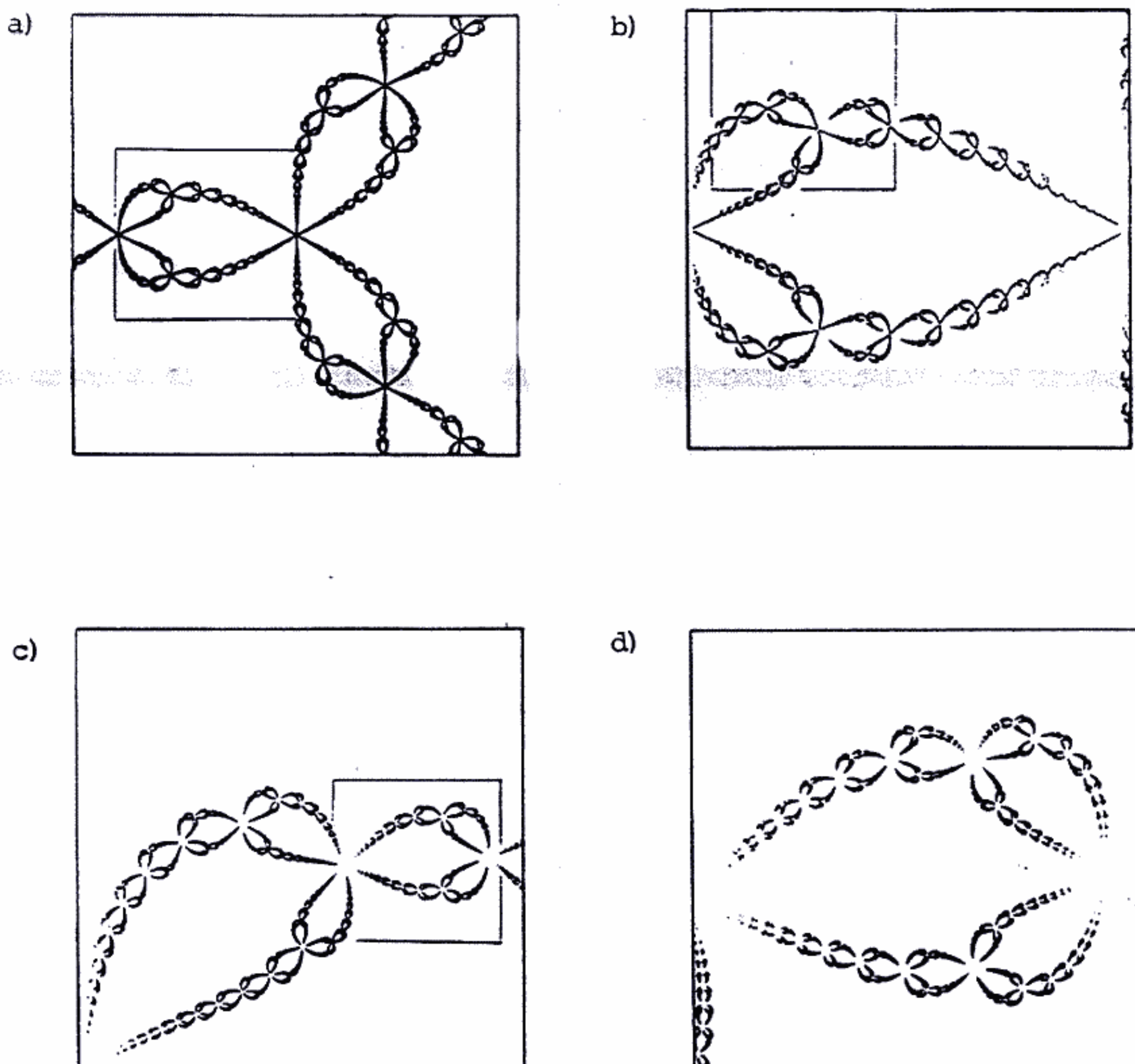
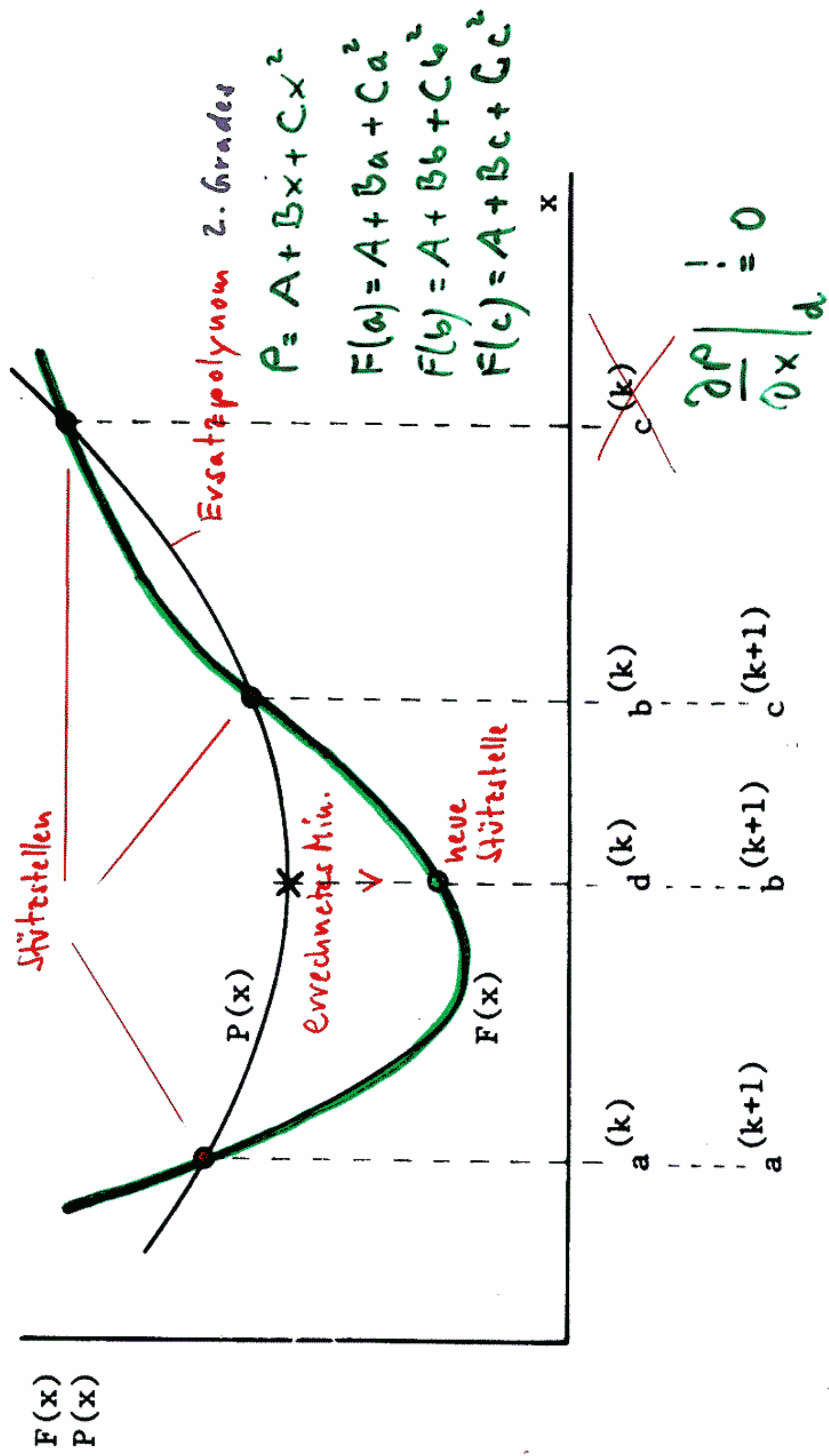


Figure 7a: Four views of sections of the Julia set of Newton's Method for  $z^3-1 = 0$ . In part a) the section  $[-1,1] \times [-1,1]$  of  $\mathbb{C}$  is shown, and in b), c) and d) subsequent closeups are displayed. Moreover, we note the "self-similarity" in the pictures. The crab-like structures seem to repeat on each scale.

## Lagrange quadratic interpolation



2.2.3 Lagrange'sche (quadratische) Interpolation  
 für Extr.:  $p+1$  Stützstellen (3)  
 $p+1$  Funktionswerte (3)  
 (also keine Ableitungen)

mit Ersatzpolynom  $p$ -ten Grades (Parabel:)  
 $p=2$

$p=2$ ; Stützstellen  $a < b < c$

neue Stützstelle  $d$

$$d = \frac{(b^2 - c^2) F(a) + (c^2 - a^2) F(b) + (a^2 - b^2) F(c)}{(b - c) F(a) + (c - a) F(b) + (a - b) F(c)}$$

Berechnung  $F(d)$

Entscheidung

$a < d < b$	$b < d < c$
$F(d) < F(b)$	$F(d) > F(b)$
$\approx$	$\approx$
$a, d, b$	$d, b, c$

als neue Stützstellen

bis  $d$  in  $\varepsilon$ -Nähe zu einer der Stützstellen

$\uparrow$   
 zuvor geforderte Genauigkeit

## 2.2.4 Hermite'sche Interpolation (kubisch)

für Extr.: 2 Stützstellen

2 Werte  $F$

2 Werte  $F_x$

(Ersatzpolynom 3. Grades)

Stützstellen  $a < b$

neue Stützstelle

$$c = a + (b-a) \frac{w - F_x(a) - z}{2w + F_x(b) - F_x(a)}$$

$$\text{mit } w = \sqrt{z^2 - F_x(a) \cdot F_x(b)}$$

$$z = \frac{3}{a-b} [F(a) - F(b)] - F_x(a) - F_x(b)$$

$c$  ersetzt  $a$  oder  $b$ , so daß  $a^{(k)}$  und  $b^{(k)}$  stets das Minimum einschließen

Abbruch, wenn  $|a-b| \leq \epsilon > 0$

Lagrange'sche

### 2.2.3a kubische Interpolation ohne Ableitungen

4 Stützstellen, 4 Funktionswerte ( $p=3$ )

quadrat. Gleichung für Extrema

### 2.2.3b Lagrange'sche Int. mit $p=4$

5 Stützstellen, 5 Funktionswerte

kubische Gleichung für Extrema

(Cardanische Formeln)

$p \geq 3$ : mögliches Entkommen aus nur lokalen Optima

## Stützstellen

## Informations-

Regula falsi

Newton - Raphson

Lagrange

- quadratisch
- kubisch

Hermite

2

1

$p+1$

3

4.

2

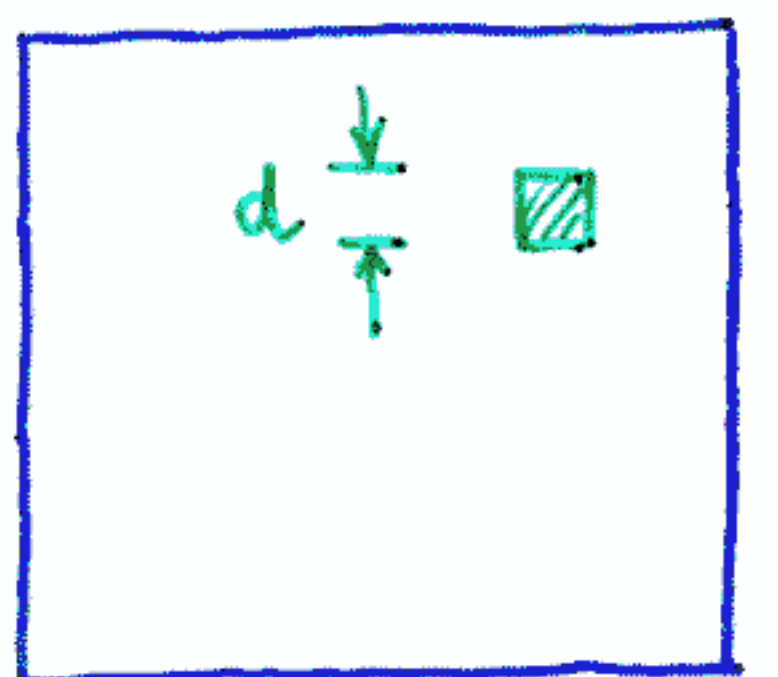
$$\begin{array}{cccc}
 F_x & F_x & F_x & F_x \\
 F_{xx} & F_{xx} & . & F_{xx}
 \end{array}$$

## Optimierverfahren für $n > 1$

- { - Raster
- Monte-Carlo
- { - Koordinaten
- Gradienten
  - steilster Abstieg / Anstieg
  - konjug. Grad.
  - konjug. Richt.
- Newton
  - Variable Metrik
- { - direkte Suchverfahren
  - Hooke + Jeeves
  - Rosenbrock
  - Nelder + Mead
  - M. J. Box
- Evolutionsstrategien

# Monte-Carlo-Strategie (reine Zufalls suche)

Ashby: Homöostat



$n$ : Zahl der Variablen

(Bild:  $n=2$ )

gleichverteilte Zufallstreffer  
in fest vorgeg. endl. Bereich

Trefferwahrscheinlichkeit bei einem Versuch

$$n = 1 \quad p_1 = \frac{d}{D}$$

$$n \text{ allgem.} \quad p_1 = \left(\frac{d}{D}\right)^n$$

$$\text{Nicht-Treffer 1 Versuch} \quad \bar{p}_1 = 1 - \left(\frac{d}{D}\right)^n$$

$$\text{Nicht-Treffer } N \text{ Versuche} \quad \bar{p}_N = \left[1 - \left(\frac{d}{D}\right)^n\right]^N$$

$$\text{mind. 1 Treffer } N \text{ Versuche} \quad p_N = 1 - \left[1 - \left(\frac{d}{D}\right)^n\right]^N$$

Versuche für vorgegebenes  $p_N$ :

$$N = \frac{\log(1-p_N)}{\log\left[1 - \left(\frac{d}{D}\right)^n\right]} \approx -\ln(1-p_N) \cdot \left(\frac{D}{d}\right)^n$$

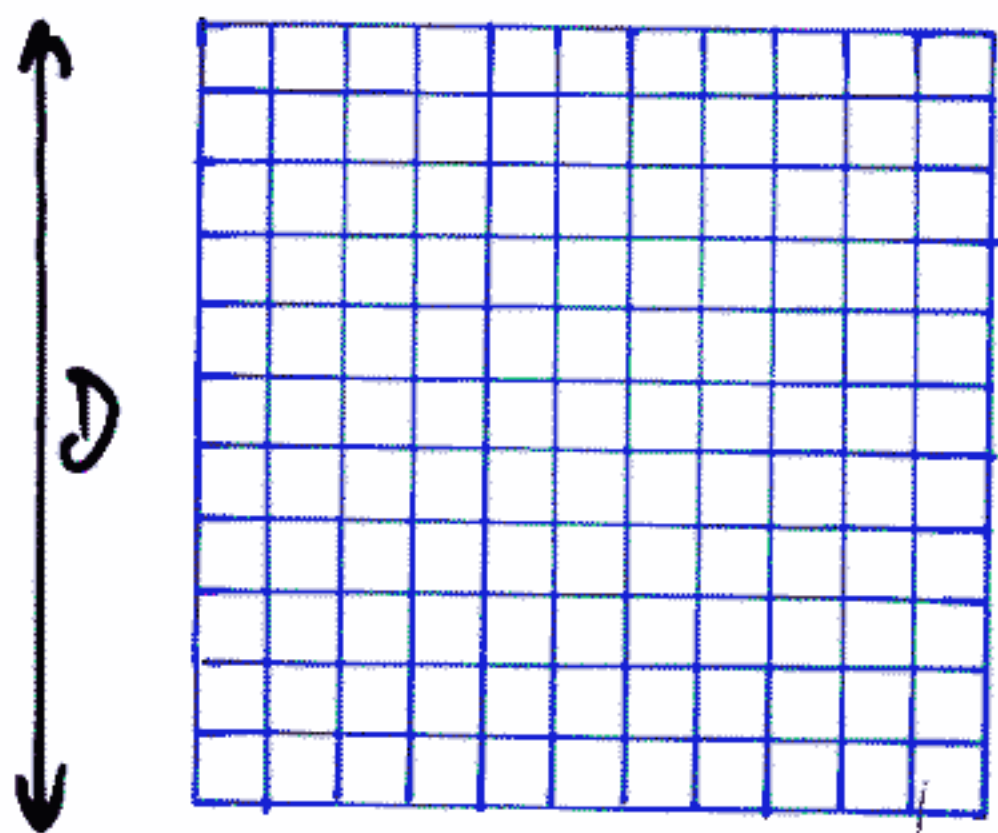
$\uparrow_{n \gg 1}$

$$p_N = 0.63 \quad N \approx 1 \cdot \left(\frac{D}{d}\right)^n \quad \leftarrow \begin{array}{l} \text{äquidistante} \\ \text{Rastersuche} \end{array}$$

$$p_N = 0.9 \quad N \approx 2,3 \cdot \left(\frac{D}{d}\right)^n$$

Brooks:  $\sim \frac{V}{v}$  unabh. von  $n$

## äquidistante Rastersuche (totale Enumeration)



$\frac{\downarrow}{\uparrow}$  Maschenweite d

$$\text{Aufwand } N = 1 \cdot \left(\frac{D}{d}\right)^n$$

Warum „besser“ als MC?

Weil Zufallsmethoden grundsätzlich schlechter?

Nein! Bei Rastermeth. können Versuche in beliebiger Reihenfolge (also auch zufällig) ausgeführt werden.

MC schlechter, weil Wiederholungen bzw. unnötig dicht benachbarte Versuche nicht ausgeschl. werden.

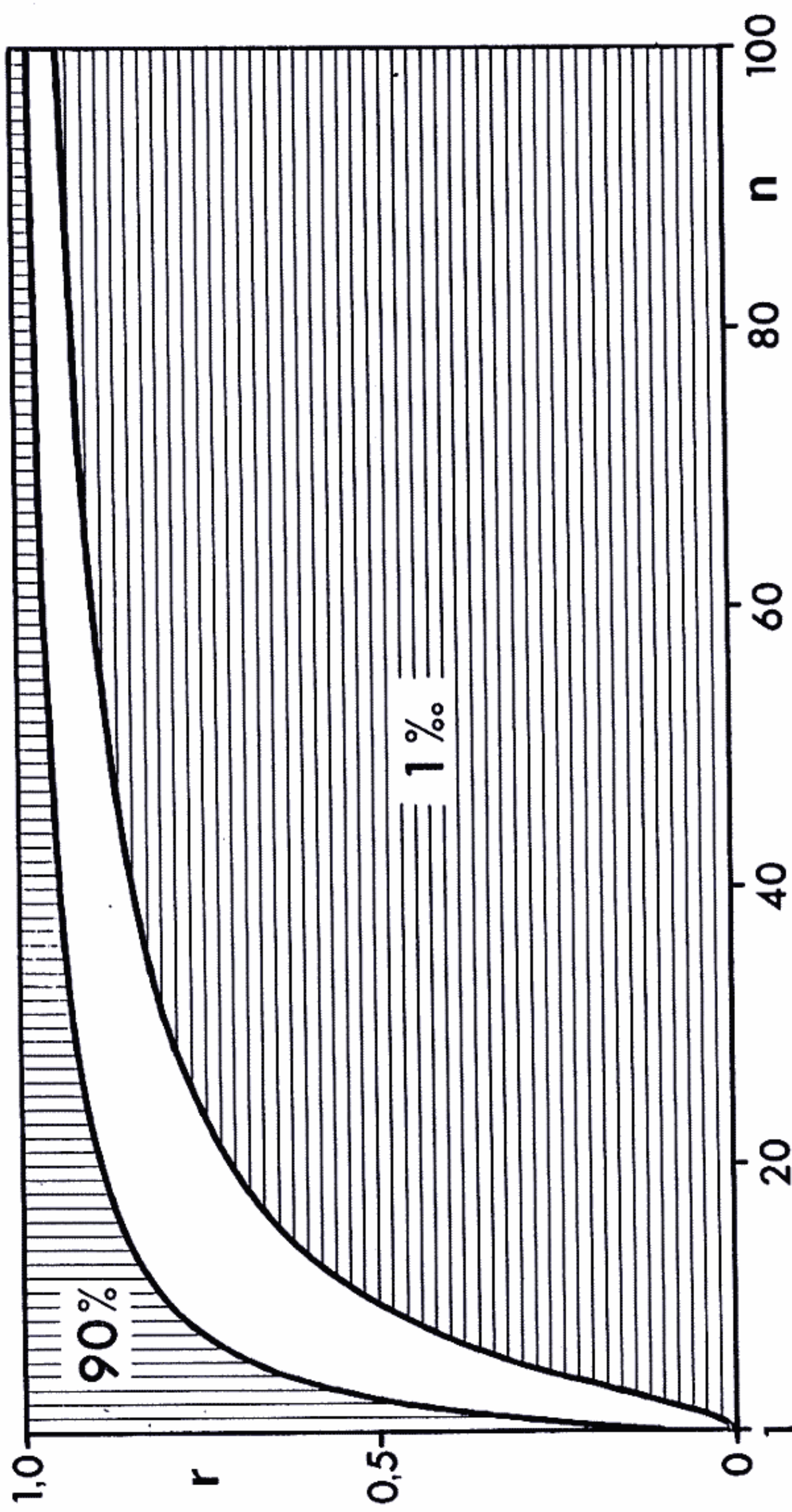
### Weiterentwickelte MC-Methoden

- Suche allmählich auf aussichtsreiche Teilregionen beschränken
- Wahrscheinlichkeitsdichte funktion an Erfolge anpassen

Folge: nicht mehr voll parallelisierbar

Behauptung Brooks 1958: Aufwand unabh. von n

$$N \sim \frac{V}{v} = \frac{\text{Gesamtvolumen}}{\text{gesuchtes Volumenelement}}$$



Volumen-Verteilung  $n$ -dim. Kugel

Strecken- vs. Volumenverhältnisse für  $n \gg 1$

$$\text{Sei } \frac{d}{D} = \varepsilon \quad \frac{v}{V} = \eta = \varepsilon^n$$

$$\text{geg. } \varepsilon = 0.1$$

$n$	$\eta$
2	0.01
10	$10^{-10}$
100	$10^{-100}$

---

$$\text{geg. } \eta = 0.1$$

$n$	$\varepsilon$
2	0.32
10	0.79
100	0.98

$$\text{Sei } p = 0.63 ; \varepsilon = 0.1 ; n = 17$$

$$\text{dann } N = 1 \cdot 10^{17} \text{ Versuche erforderlich}$$

z.B. 1 s/Versuch : 3 Mrd. Jahre !

$$\text{Sei } p = 0.63 ; \varepsilon = \frac{1}{2} ; n = 10^5$$

$$\text{dann } N = 1 \cdot 2^{100\,000} \approx 10^{30\,000} \gg 10^{120}$$

$10^{80}$  Elementarbausteine im Kosmos

$10^{60}$  Elementar Zeitschritte seit Urknall

$10^{140}$  kosmolog. Obergrenze für Ereignisse  
z.B. Zahl der Versuche

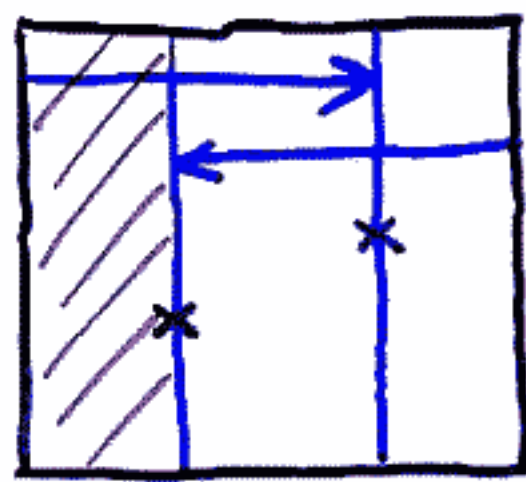
Parallelität allein hilft kaum:

$$10^{30\,000} / 10^{80} = 10^{29\,200} \text{ Generationen}$$

mind. Stunden  
(Bakterien, Hefen)

## 2. segmentierte Methoden für $n \geq 1$

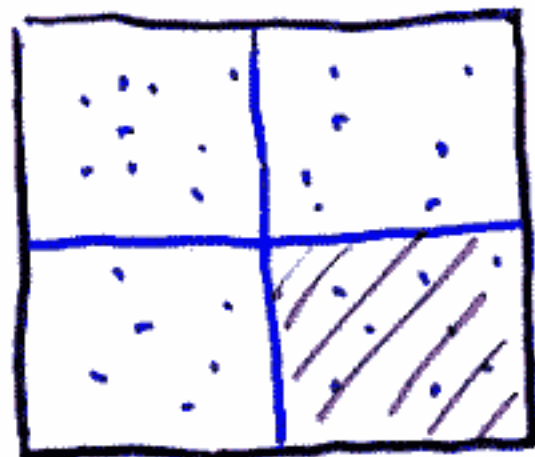
### 2.1 Fibonacci



rekurrenzives Wegschneiden vom Ausgangsintervall

$$N \sim \left( \log \left( \frac{D}{d} \right) \right)^n$$

### 2.2 M-C mit Intervall-reduktion



### 2.3 Verfahren, die einen linienförmigen Weg zum Optimum hin verfolgen

Abstand zweier Zufallspunkte in einem  $n$ -dimensionalen Würfel mit Kantenlänge  $L$ :

$$l = L \cdot \sqrt{\frac{n}{6}} \quad \text{~\~ Aufwand } \sim \sqrt{n}$$

allgemeine Iterationsvorschrift:

$$x^{(k+1)} = x^{(k)} + s^{(k)} \cdot v^{(k)}$$

|            | Richtung ( $\|v^{(k)}\|=1$ )  
Schrittw.  $s^{(k)}$

einfachste Regel:  $s^{(k)}$  fest

$$v^{(k)} = \{e_1, e_2, \dots, e_n\}$$

zyklisch

allg. Iterationsregel

sequentielle Optimierung

$$\underline{x}^{(k)} = \underline{x}^{(k-1)} + s^{(k)} \cdot \underline{v}^{(k)}$$

Schrittweite      Richtung       $|\underline{v}^{(k)}| = 1$

$$\underline{x} = \{x_1, x_2, \dots, x_n\}$$

Richtung: z.B. Koordinatenrichtungen, zyklisch  
Gradientenrichtung

(lokal optimal)

Zufallsrichtung gleichverteilt

Schrittweite: z.B. fix

maximal (bis zum relativen Opt.)

eindim. (Linien-)suche

zufällig normalverteilt

gute Algorithmen „erlernen“  $s$  und  $v$

adaptiv durch „learning by doing“  
Versuch und Fehlern

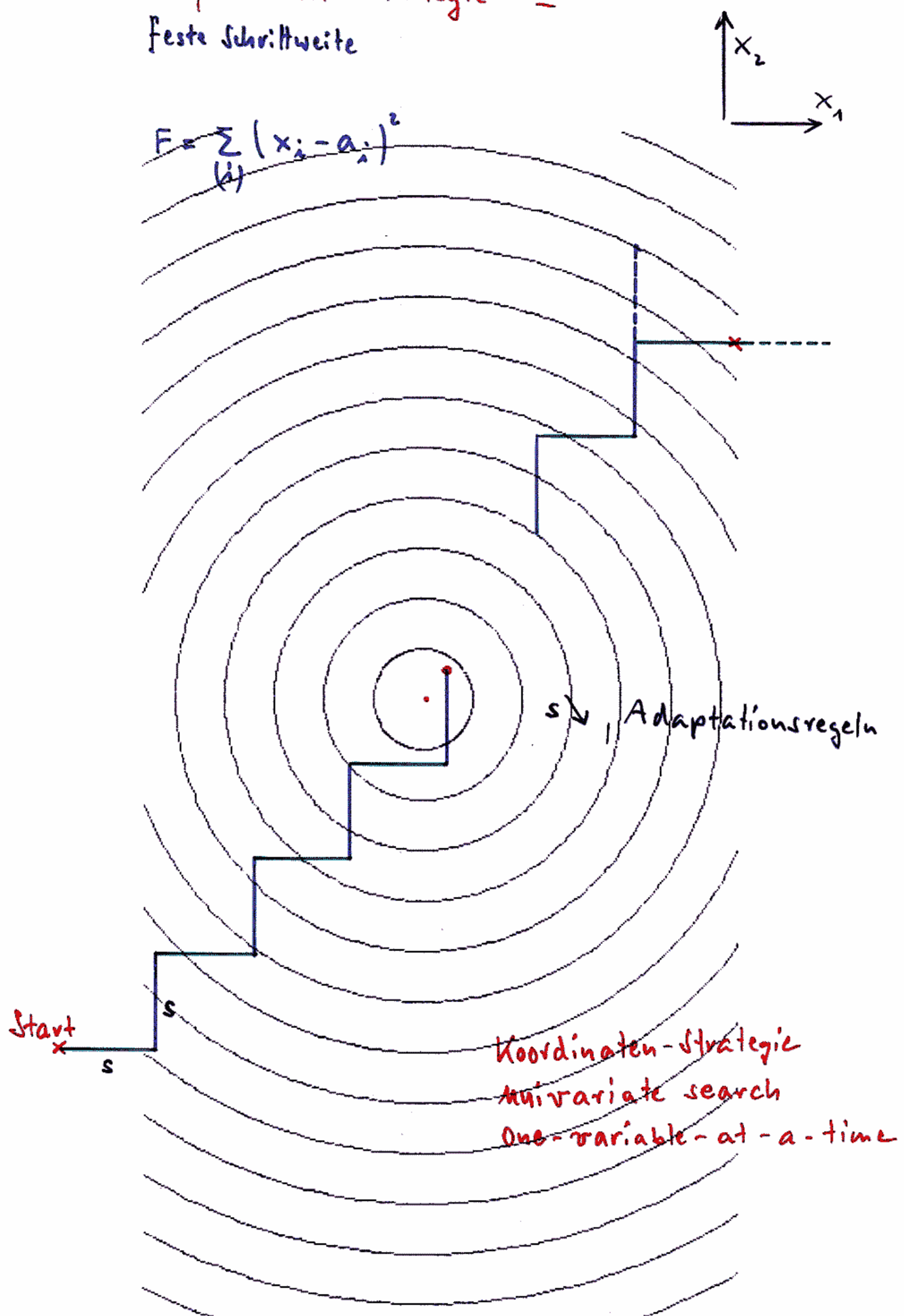
Evolutionsstrat.:

$v$  zufällig, gleichverteilt

$\Delta x_i = s_i$  zufällig, normalverteilt ( $f=0, S_i$ )

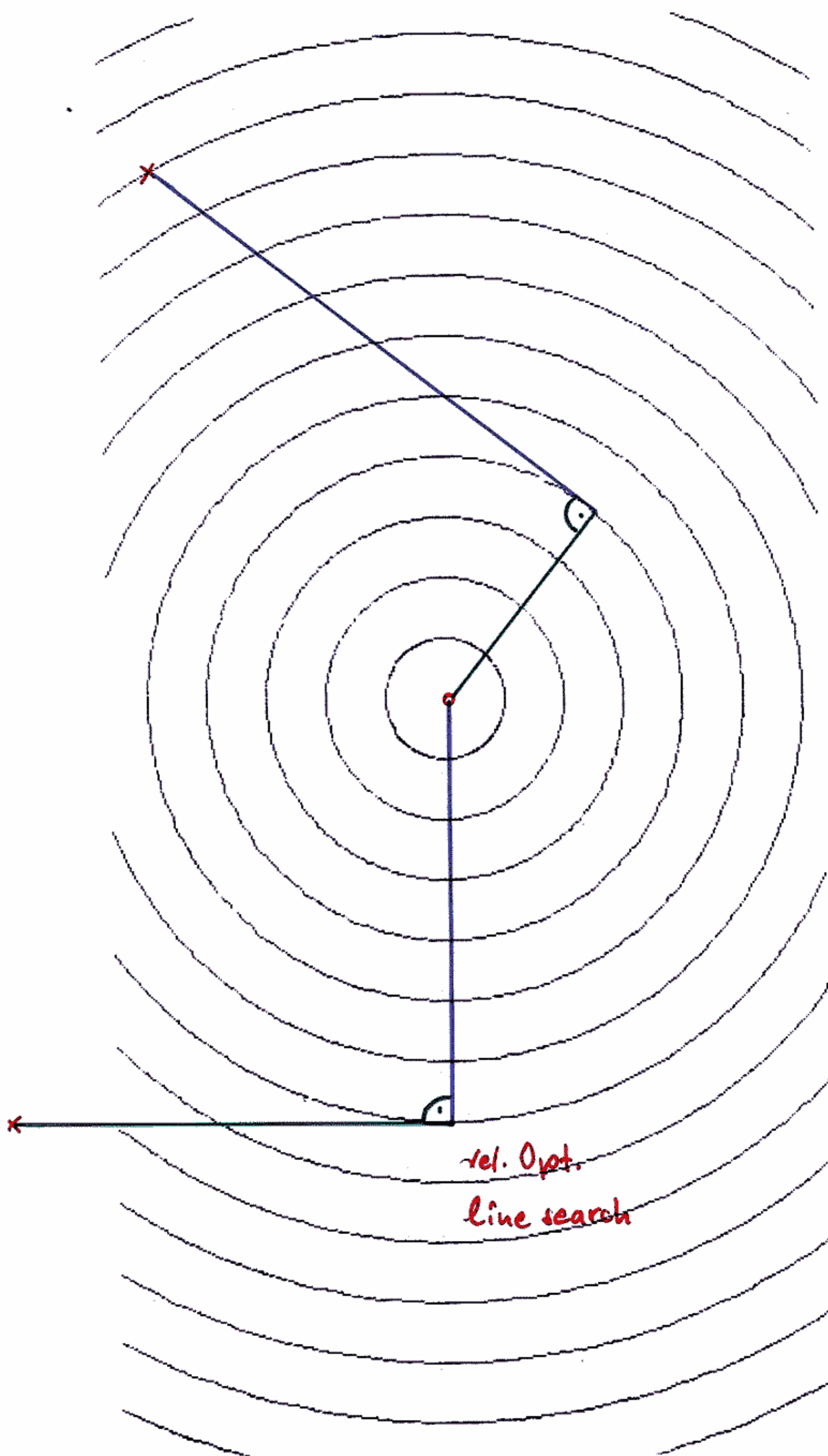
$s_{\text{ges}}$  quasi fix für  $n \gg 1$   
(Kugelraumverteilung)

Gauß-Seidel - Strategie  $\top$   
feste Schrittweite



# Gauß-Seidel - Strategie II

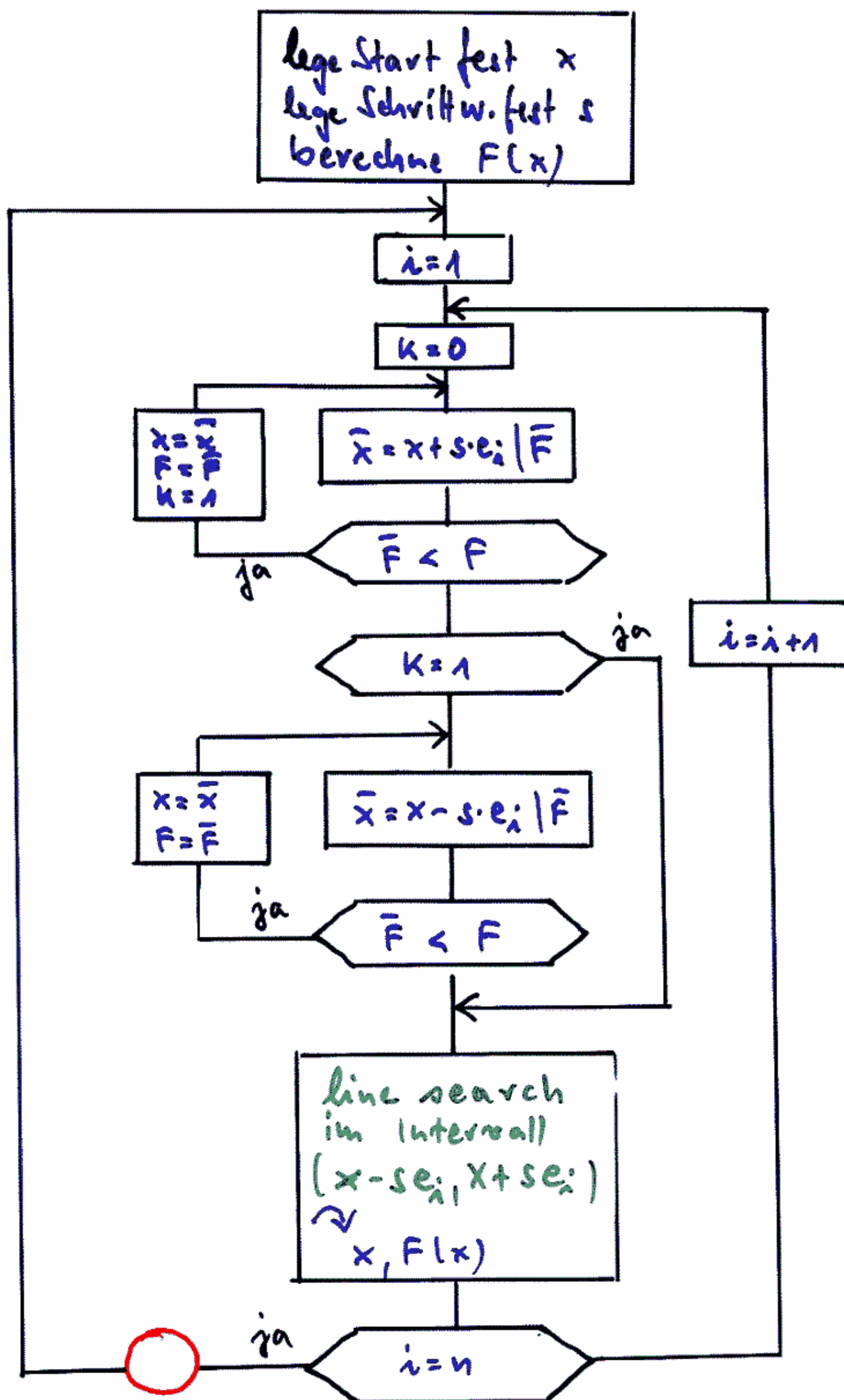
mit line search



$$F(x) = \sum_{(i)} k_i(x_i)$$

weil Problem dekomponierbar  
Zielfunktion separabel

# Gauß-Seidel - Strategie



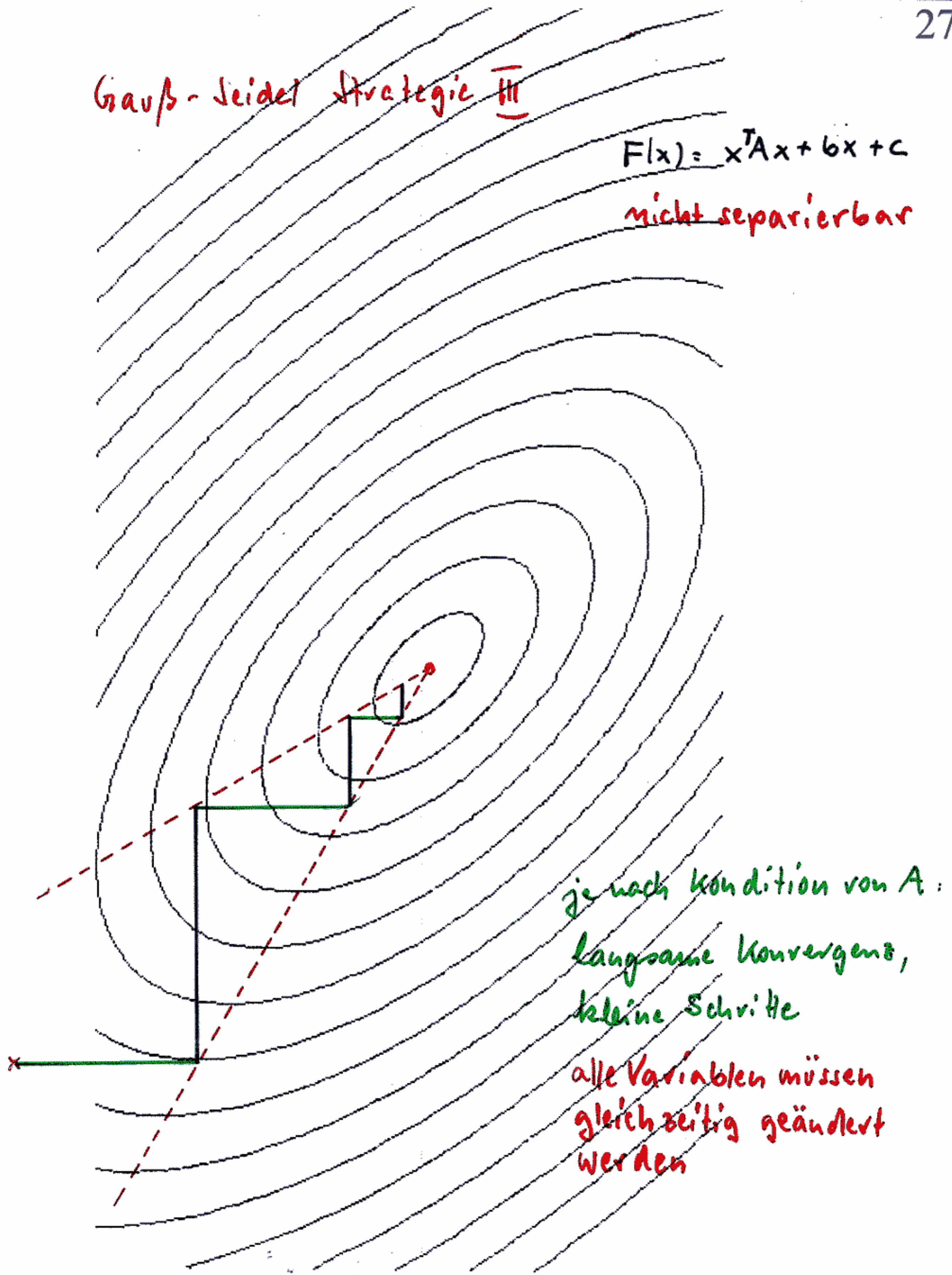
Abschalt-regel :

wenn über 1 Zyklus keine Verbesserung, dann  $s$  halbieren  
wenn  $s < \epsilon$  dann stop

## Gauß-Seidel Strategie III

$$F(x) = x^T A x + b x + c$$

nicht separierbar



## Gradientenrichtung

$F(x) \rightarrow \min$

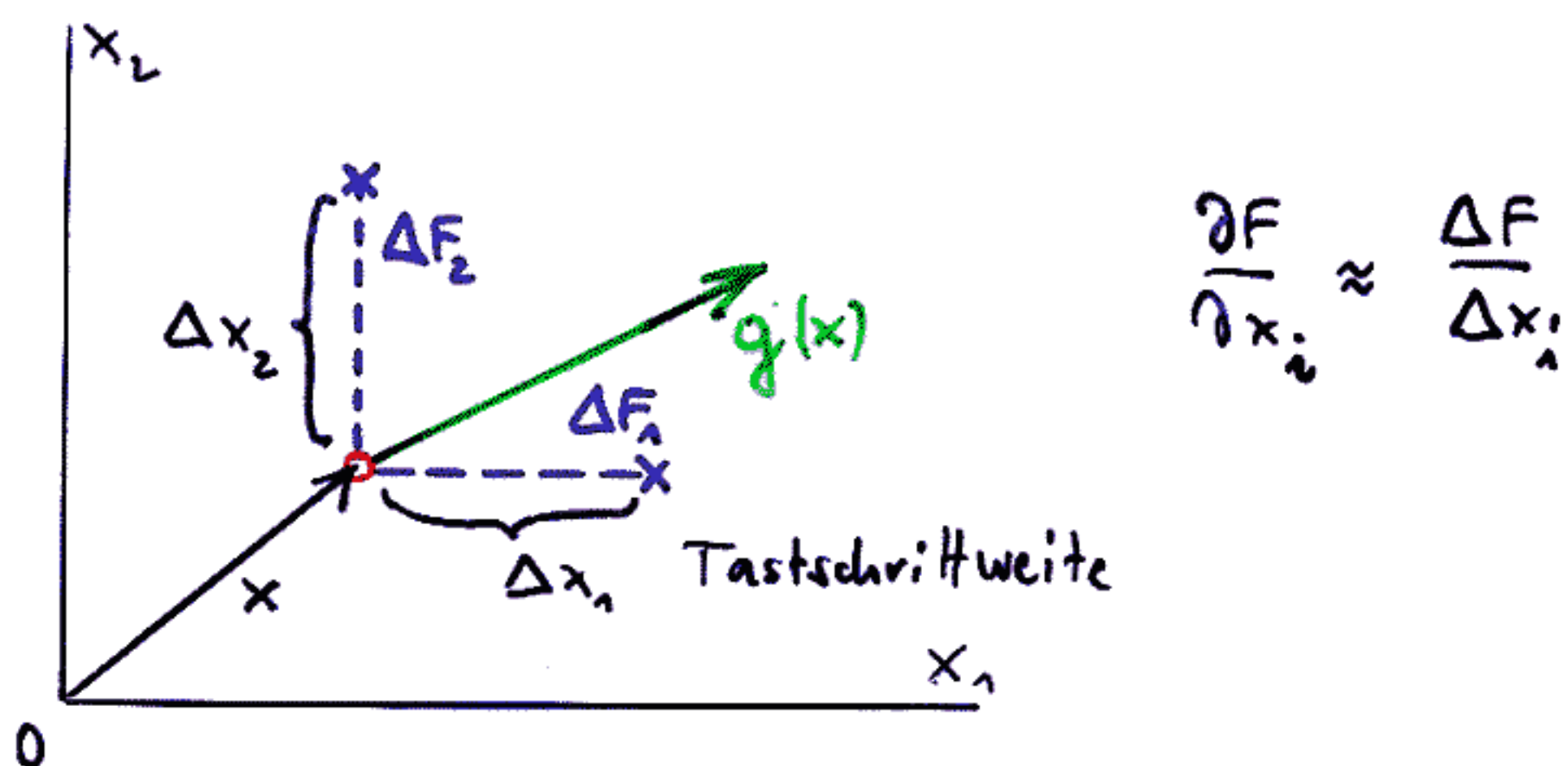
$$x = \begin{Bmatrix} x_1 \\ x_2 \\ \vdots \\ x_n \end{Bmatrix} = \{x_1, x_2, \dots, x_n\}^T = x_1 e_1 + x_2 e_2 + \dots + x_n e_n$$

$$\nabla F = \left\{ \frac{\partial F}{\partial x_1}, \frac{\partial F}{\partial x_2}, \dots, \frac{\partial F}{\partial x_n} \right\}^T \quad \text{Nabla-Operator}$$

$$g(x) = \frac{\partial F}{\partial x_1}(x) e_1 + \frac{\partial F}{\partial x_2}(x) e_2 + \dots + \frac{\partial F}{\partial x_n}(x) e_n$$

$$\text{bzw. } g'(x) = \frac{g(x)}{\|g(x)\|}$$

→ n erste partielle Ableitungen der Zielfunktion müssen bekannt sein  
oder näherungsweise ermittelt werden



$$x^{(k+1)} = x^{(k)} \pm s^{(k)} \cdot g^{(k)}$$

↑  
line search

$k$  = Iterationszähler

Gradientenverfahren (für Min. Suche)

$$\nu^{(k)} = -g(x^{(k)}) = -\frac{\nabla F(x^{(k)})}{\|\nabla F(x^{(k)})\|} ; \|\nu^{(k)}\|=1$$

$s^{(k)}$  = „optimal“

d.h. Line search entlang  $\nu^{(k)}$

z.B. mit Lagrange'scher Interpolation  
oder Hermite'scher Interpolation

→ Optimum gradient search

= steepest descent (ascent)

steilster Abstieg (Anstieg)

d.h. n partielle Ableitungen auswerten

Oder n Tastschritte ausführen

Aufwand je zurück gelegter Strecke  $\sim \frac{n+1}{s}$

bzw. Konvergenzgeschwind.  $\sim \frac{s}{n+1}$

Gradientenkonzept entspricht

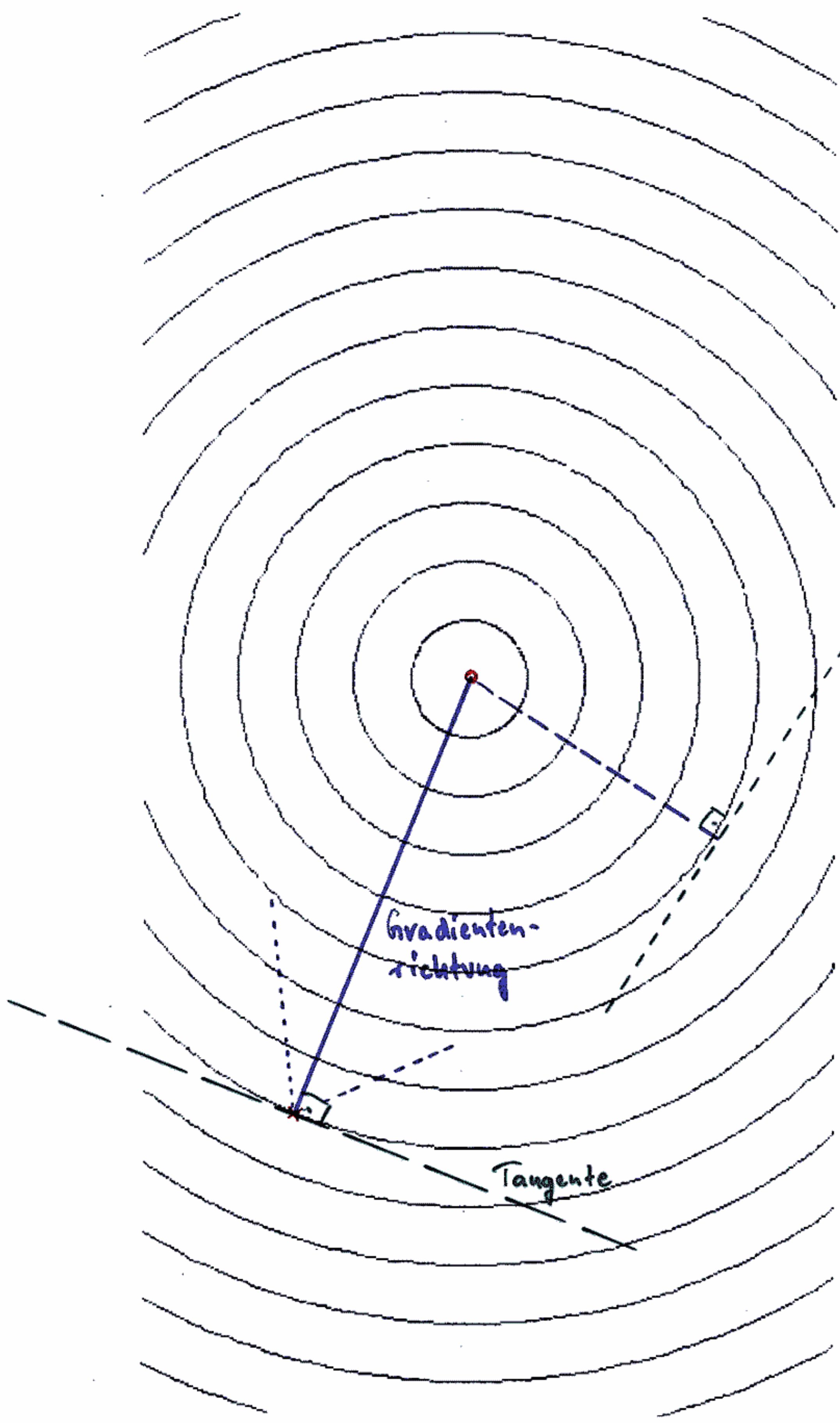
linearem „inneren Modell“ über Zielfunktion

d.h. im linearen Fall ist Gradientenrichtung global optimal

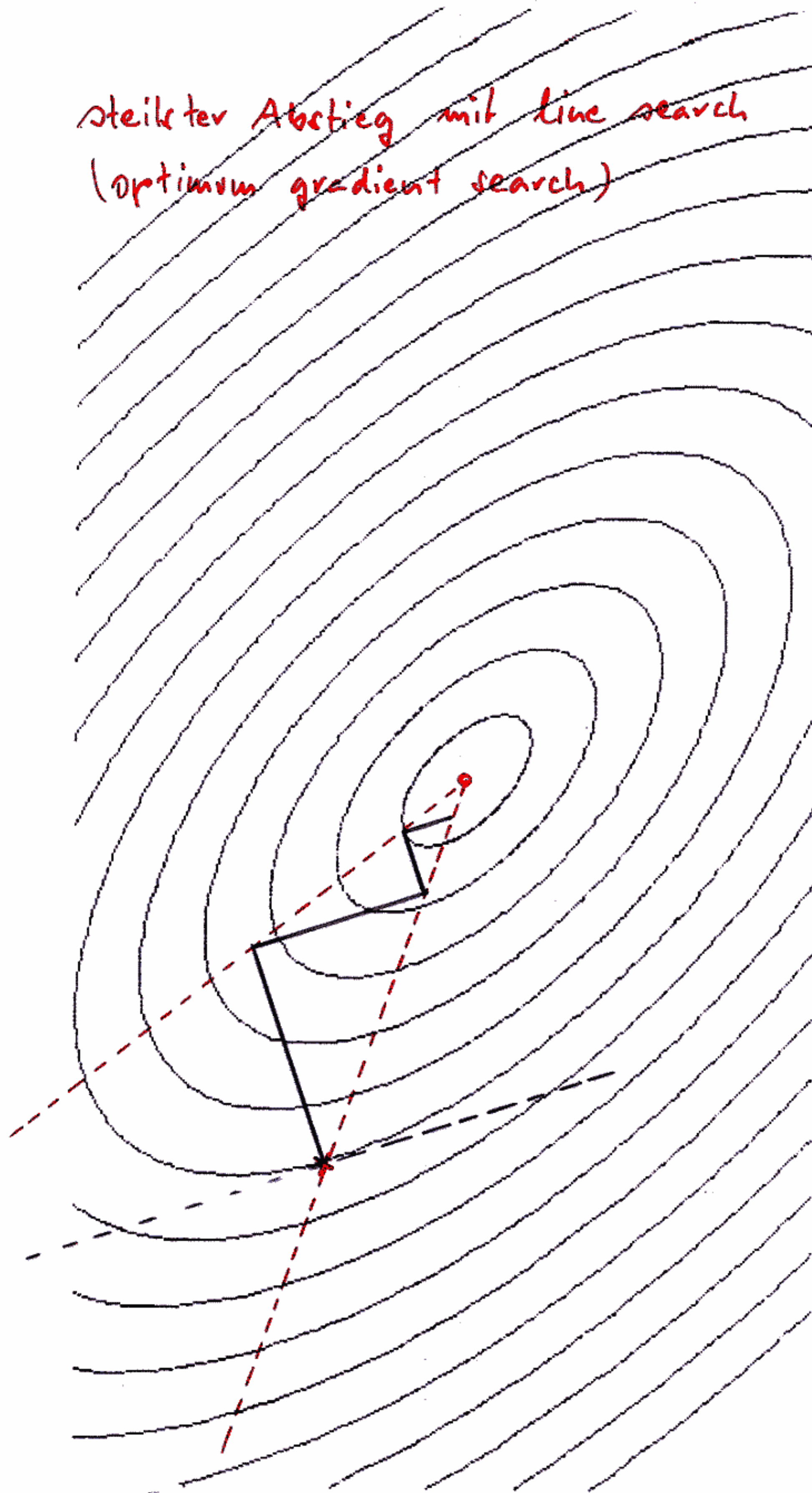
sonst nur lokale optimale Richtung

Steiler Abstieg  
(Austieg)

Gradient

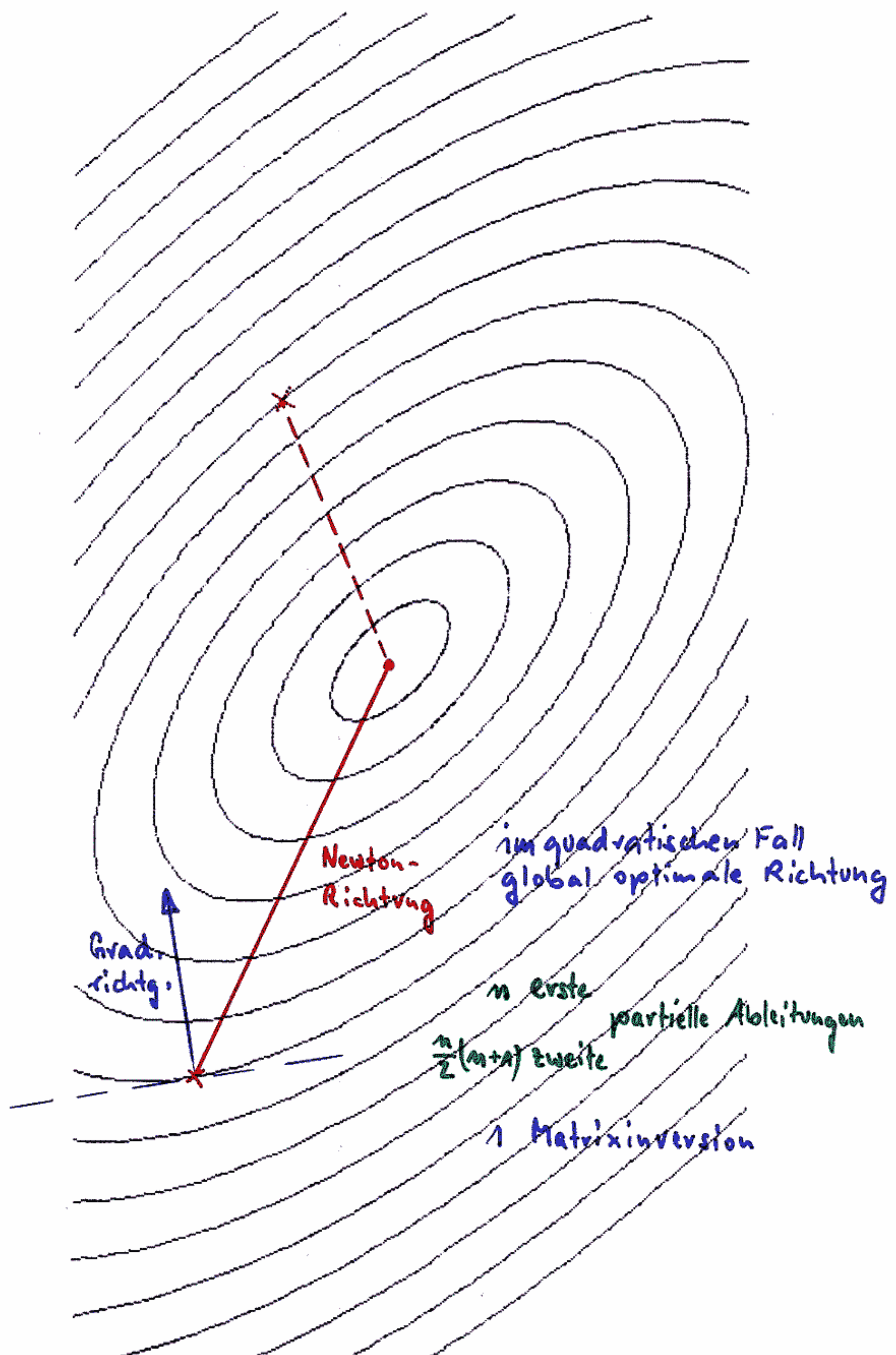


Steiler Abstieg mit line search  
(Optimum gradient search)



nicht besser als Gauss-Seidel  
1. Ableitungen benötigt  
lineares internes Modell

## Newton - Raphson Strategie



$$\left\{ \begin{array}{cccc} \frac{\partial^2 F}{\partial x_1^2} & \frac{\partial^2 F}{\partial x_1 \partial x_2} & \dots & \frac{\partial^2 F}{\partial x_1 \partial x_n} \\ & \ddots & & \\ \frac{\partial^2 F}{\partial x_2 \partial x_1} & \dots & \ddots & \\ \vdots & & & \\ \frac{\partial^2 F}{\partial x_n \partial x_1} & \dots & & \frac{\partial^2 F}{\partial x_n^2} \end{array} \right\} = \nabla^2 F$$

$$H(x) = \nabla^2 F(x)$$

Hesse'sche Matrix  
inverse H



$$x^{(k+1)} = x^{(k)} - [\nabla^2 F(x^{(k)})]^{-1} \nabla F(x^{(k)})$$

$$= x^{(k)} + s^{(k)} \cdot v^{(k)}$$

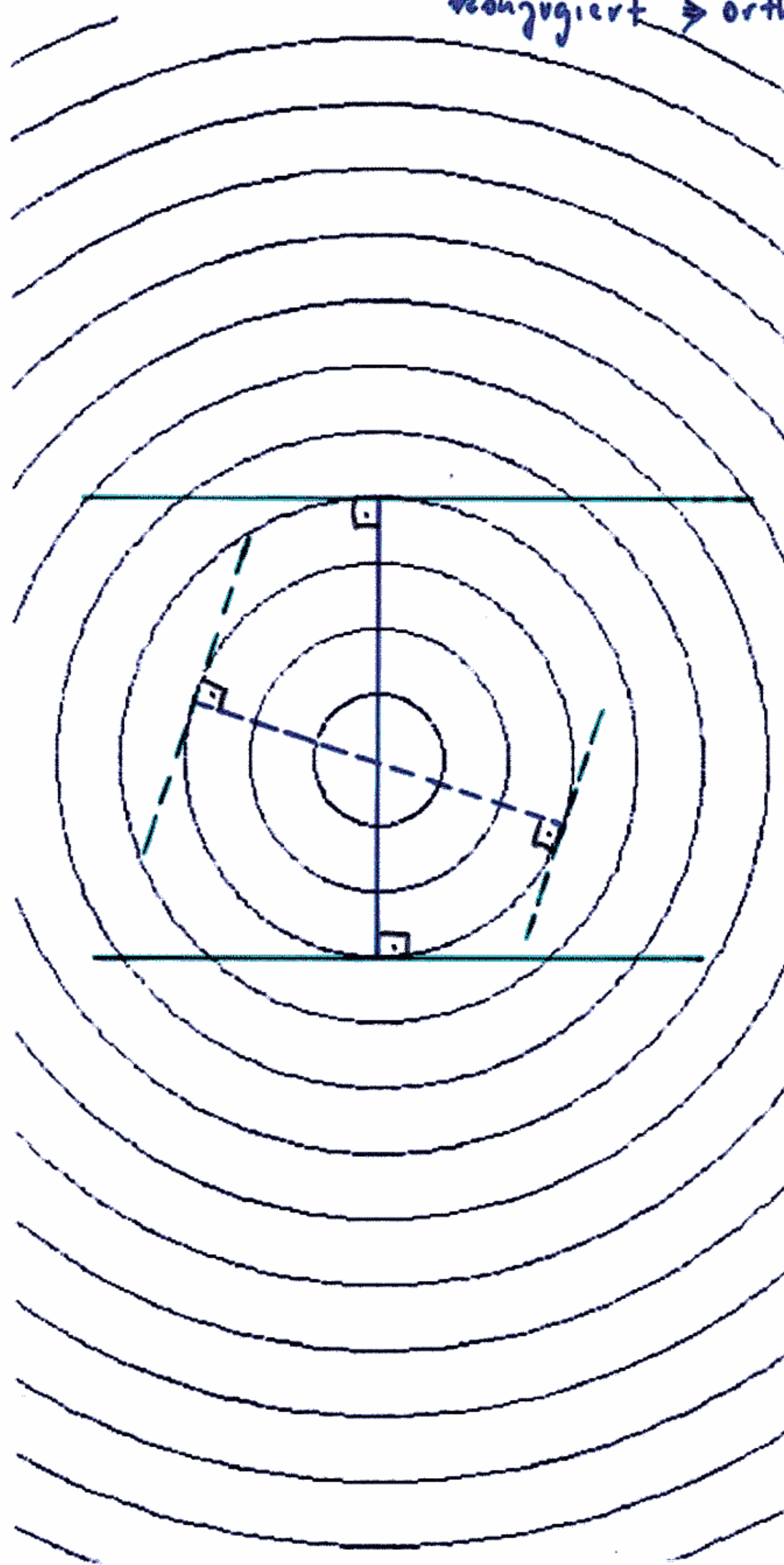
Richtung  
Schrittwerte

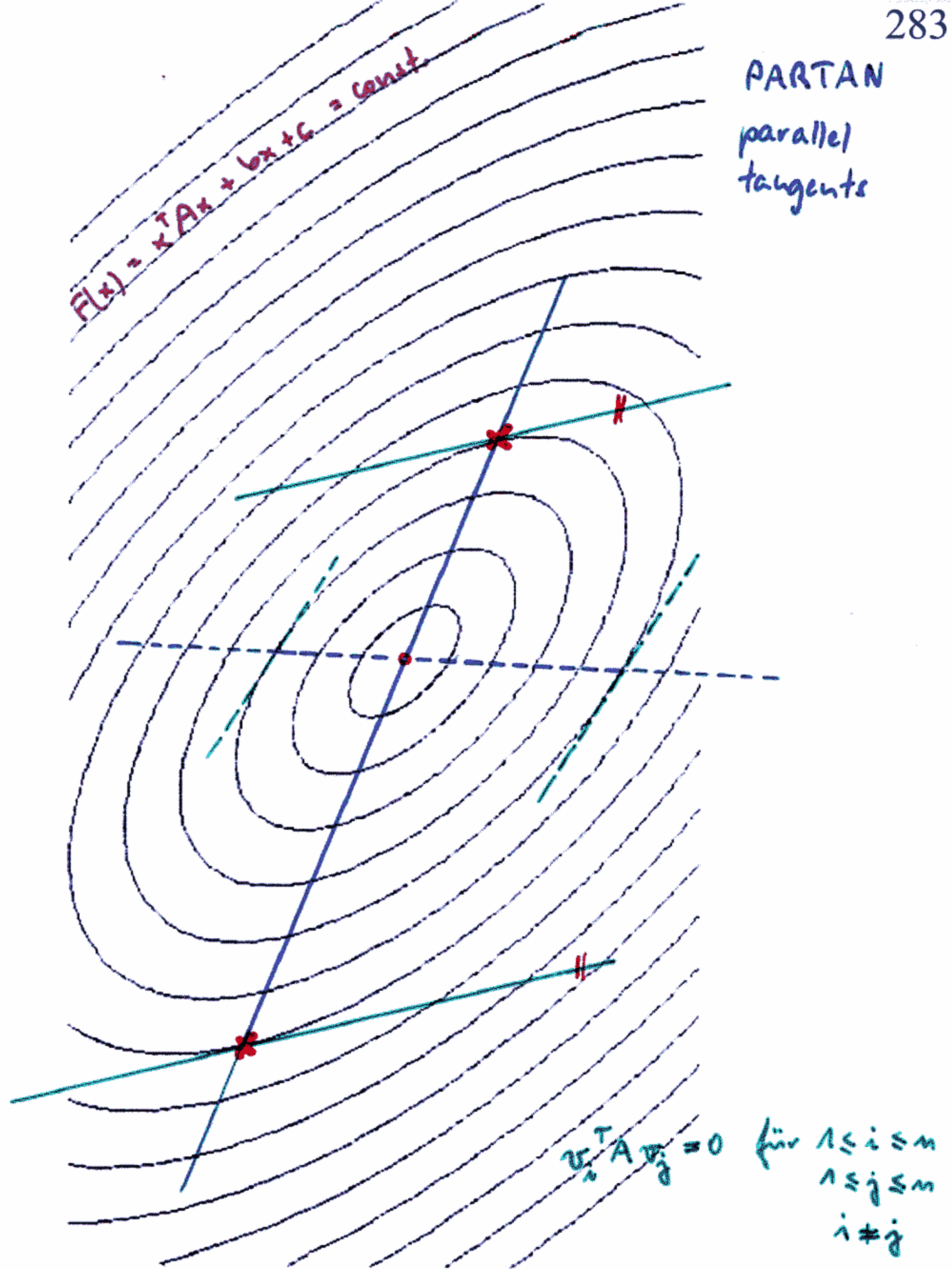
im quadrat. Fall keine line search nötig  
nur 1 Iteration  $\Rightarrow Q1$

mach linearer Koordinatentransformation

$$A \geq I$$

transponiert  $\Rightarrow$  orthogonal





konjugierte Richtungen / Hestenes 1956

$\Theta(n)$  line searches  $\Rightarrow Q(\Theta(n))$  für PARTAN

## Verfahren der konjugierten Gradienten (Fletcher + Reeves, 1964)

$$v^{(0)} = -\nabla F(x^{(0)})$$

$$v^{(k)} = \alpha v^{(k-1)} - \nabla F(x^{(k)}) \quad 1 \leq k \leq n$$

$$\alpha = \frac{\{\nabla F(x^{(k)})\}^T \nabla F(x^{(k)})}{\{\nabla F(x^{(k-1)})\}^T \nabla F(x^{(k-1)})}$$

Korrektur-  
faktor

↑ im quadratischen Fall

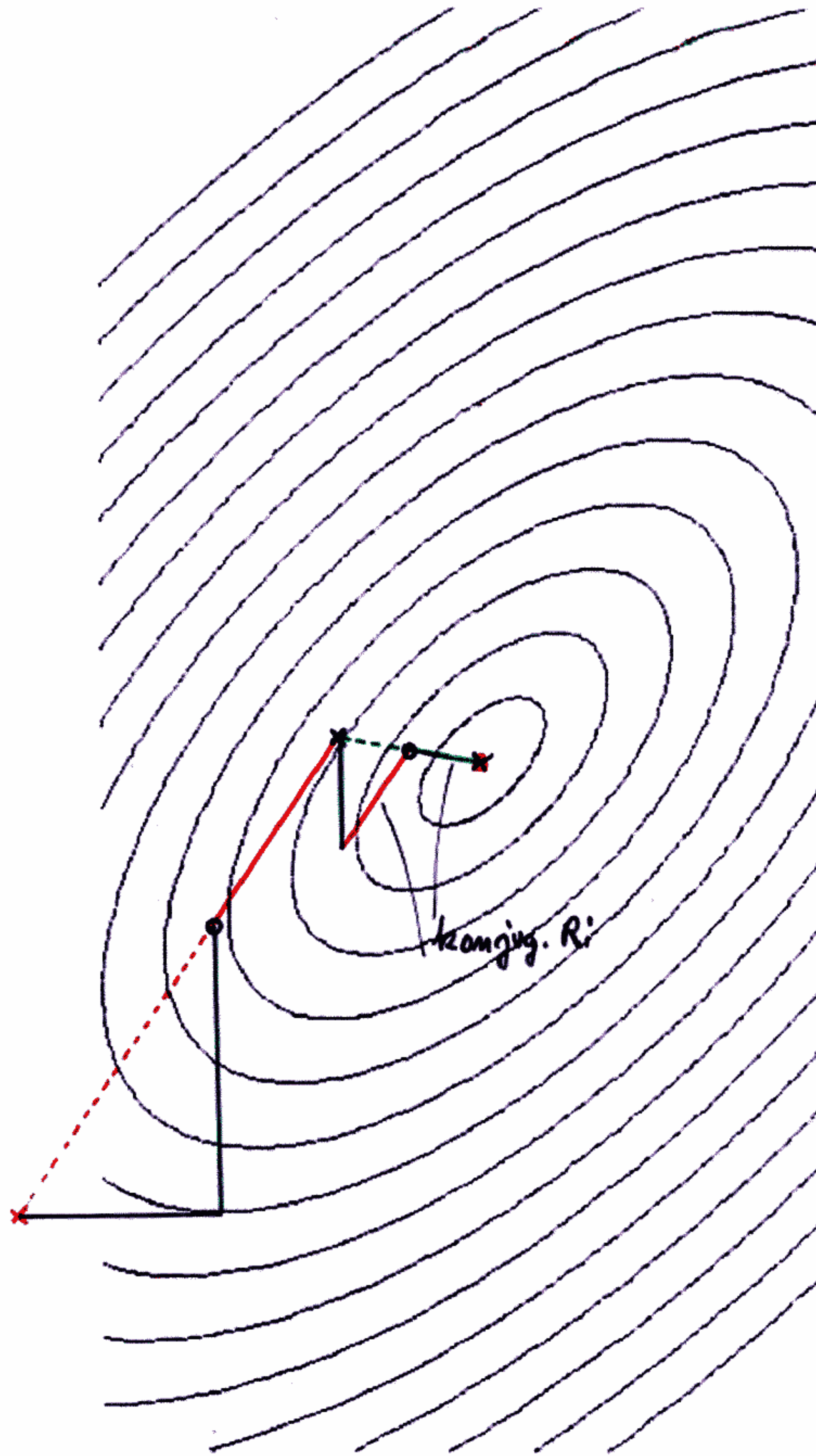
n Iterationen mit Ihr line search

Qu (muß exakt sein)

z.B. Hermite'sche Interpolation

nicht quadratisch:

"Neustart" mit einfacher Gradientenrichtung  
nach jeweils n Iterationen



Powell - Verfahren der konjug. Richtungen (ableitungsfrei) 1964

$n(n+1)$  line searches.

$$T \sim n^2 \cdot k \cdot n^f f_{\text{SI}}$$

$$\Rightarrow \mathcal{O}(n^{2+f})$$

## Quasi - Newton - Verfahren

/ variable Metrik  
z.B. Davidon  
1959

$$x^{(k+1)} \rightarrow x^{(k)} + s^{(k)} \cdot H^{(k)T} \nabla F(x^{(k)})$$

line search

Näherung für inverse  
Hesse Matrix

$$H^{(k+1)} = H^{(k)} + A^{(k)}$$

$$H^{(0)} = I$$

Korrektorterm (wird "erlernt" aus  
Erfahrungen der  
vorhergehenden  
Iterationen)

im quadratischen Fall:  $\Theta(n)$  Iterationen

$\Rightarrow$  Eigenschaft Q  $\Theta(n)$

$$T \sim n \cdot [(1+n) \cdot n] = \Theta(n^3)$$

DFP

Davidon, Fletcher, Powell

$$A_{DFP}^{(k)} = \frac{y^{(k)} y^{(k)T}}{y^{(k)T} z^{(k)}} - \frac{H^{(k)} z^{(k)} \{ H^{(k)} z^{(k)} \}^T}{z^{(k)T} H^{(k)} z^{(k)}}$$

Rang 2

wobei  $y^{(k)} = x^{(k)} - x^{(k-1)}$

$$z^{(k)} = DF(x^{(k)}) - DF(x^{(k-1)})$$

BFGS Broyden, Fletcher, Goldfarb, Shanno

$$A_{BFGS}^{(k)} = \frac{\{y^{(k)} - H^{(k)} z^{(k)}\} \{y^{(k)} - H^{(k)} z^{(k)}\}^T}{\{y^{(k)} - H^{(k)} z^{(k)}\} z^{(k)T}}$$

Rang 1

(rank one or variance method(s))

Vorteil: auf line search kann verzichtet werden

Nachteil: sogar im quadrat. Fall kann  $H^{(k)}$  positive  
Definitheit verlieren  
(im allg. Fall sowieso!)

Mischformel:

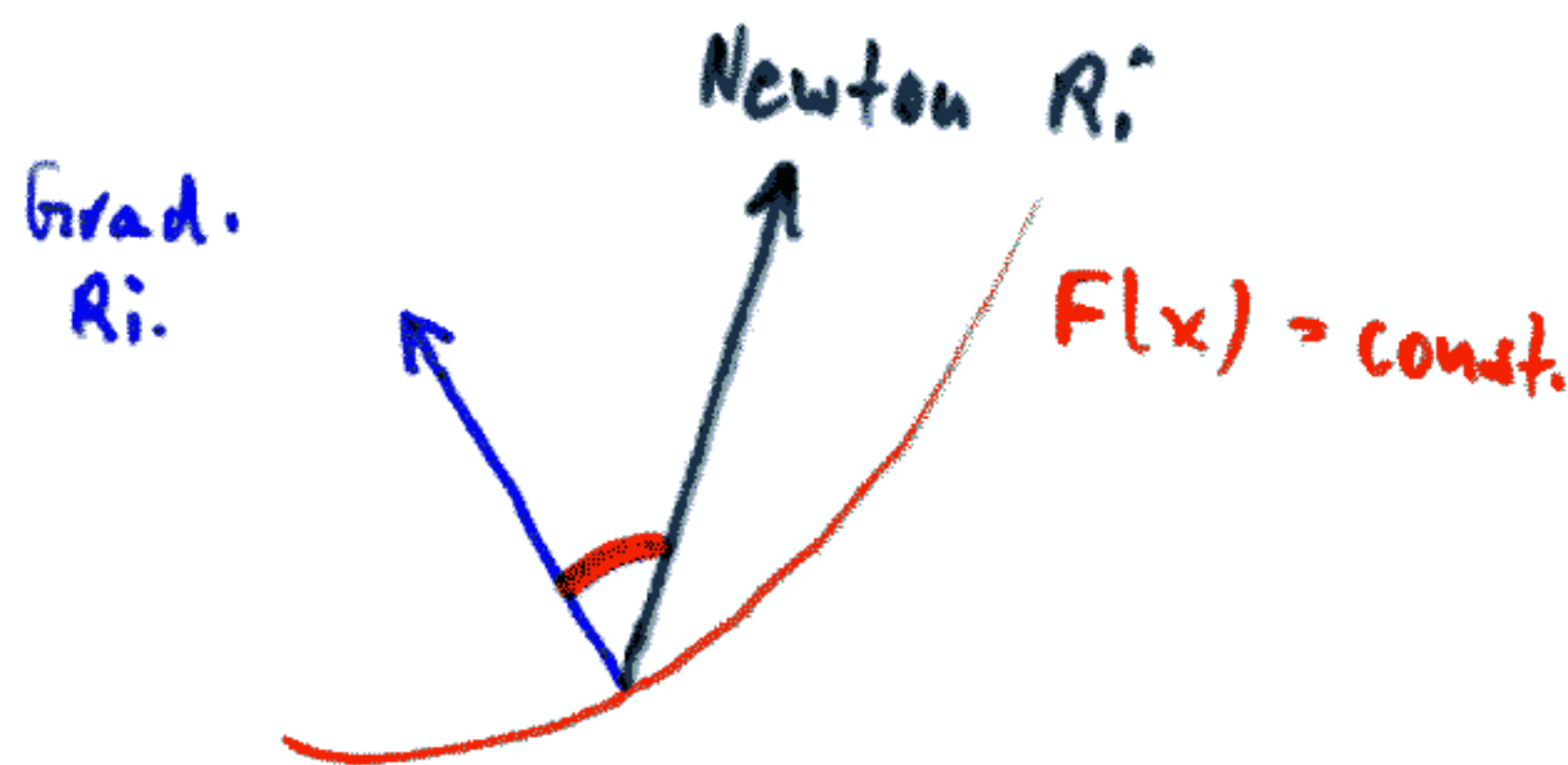
$$H^{(k+1)} = H^{(k)} + A_{DFP}^{(k)} + \alpha^{(k)} A_{BFGS}^{(k)}$$

$$\alpha^{(k)} > 0 \text{ beliebig}$$

n.T.a.m.

$\sigma(n^3)$  trotz QR

Strategie	<u>Zahl der Iterationen</u>	Teiloperationen je Iteration			einfachen Operationen
		F	$\nabla F$	$\nabla^2 F$	
Newton z.B. Newton-Raphson	$n^0$	-	$n^0$	$n^0$	$n^3$
variable Matrix z.B. Davidon	$n^1$	$n^0$	$n^0$	-	$n^2$
konjugierte Gradienten z.B. Fletcher-Reeves	$n^1$	$n^0$	$n^0$	-	$n^1$
konjugierte Richtungen z.B. Powell	$n^2$	$n^0$	-	-	$n^1$
		$n^0$	$n^1$	$n^2$	Gewichtsfaktoren



allgem. Fall :  $\Delta$  oft nahezu  $b$   
 'beste' Richtung evtl außerhalb  $\Delta$

- \* scheinbar simple Konzepte mitunter erfolgreich (er)
- hill climbing
- trial and error
- heuristiche (direkte) Suchverfahren

# Hooke + Jeeves pattern search (1961)

Grobscheman:

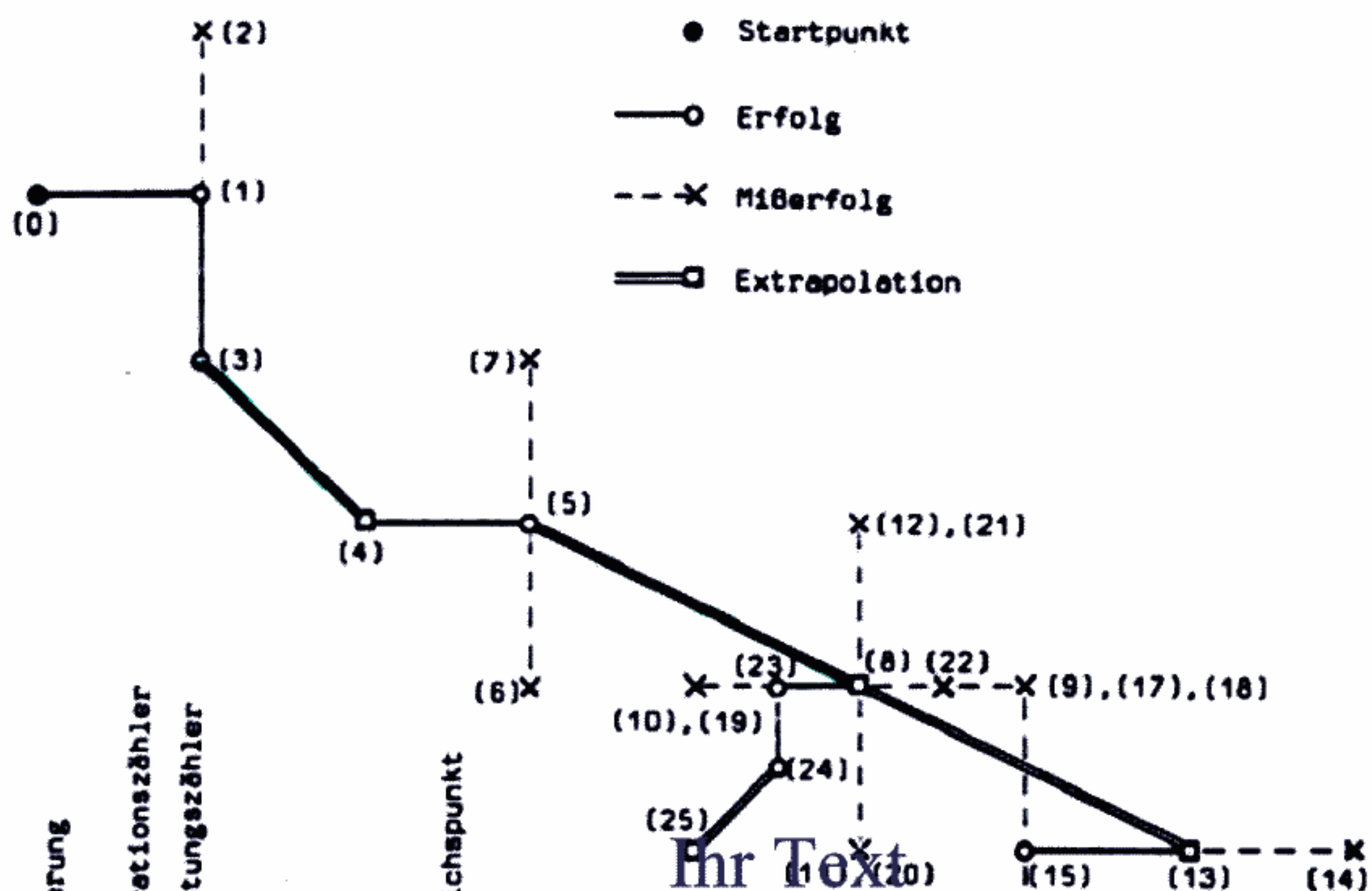
- ①  $r^{(k)}$  zyklisch in Koord. Richtungen  
 $s^{(k)}$  diskret, fest
  - bei Erfolg: sofort realisieren
  - bei Misserfolg: Gegenrichtung probieren
- ② nach Zyklus mit mind. einem Erfolg  
 Extrapolation in Gesamtrichtung mit Schrittweite entspr. Summe der erfolgr. Schritte  
 keine Erfolgskontrolle  
 weiter mit ①
 

anderenfalls: letzte Extrapolation rückgängig machen und weiter mit ①;  
 wenn auch dies erfolglos, dann  
 Schrittweite halbieren, solange  $s \geq \epsilon$
- ③ Stop, wenn  $s < \epsilon$

Abwandlungen: vapor search (mit Neb.)  
 line search für Extrapolation

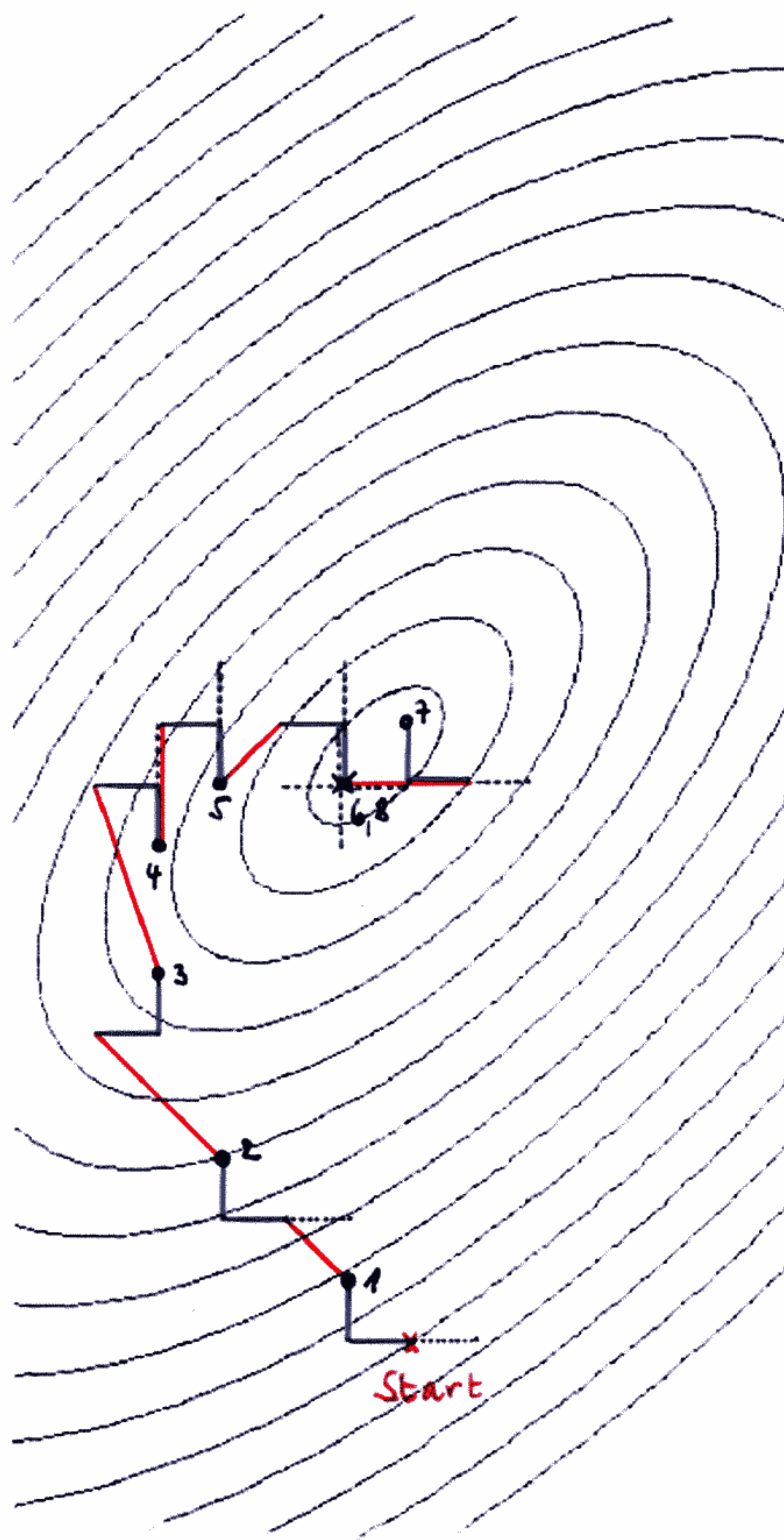
## pattern search 1961

## Strategie von Hooke und Jeeves



Nummerierung	Iterationszähler	Richtungszähler	Variablenwerte	Vergleichspunkt	Schrittweiten		Bemerkungen	X(16)
					s <sub>1</sub>	s <sub>2</sub>		
(0)	0	0	0 9	-	2	2	Startpunkt	
(1)	0	1	2 9	(0)			Erfolg	
(2)	0	2	2 11	(1)			Mißerfolg	
(3)	0	2	2 7	(1)			Erfolg	
(4)	1	0	4 5	-	2	-2	Extrapolation	
(5)	1	1	6 5	(4), (3)			Erfolg, Erfolg	
(6)	1	2	6 3	(5)			Mißerfolg	
(7)	1	2	6 7	(5)			Mißerfolg	
(8)	2	0	10 3	- , (5)	2	-2	Extrapolation, Erfolg	
(9)	2	1	12 3	(8)			Mißerfolg	
(10)	2	1	8 3	(8)			Mißerfolg	
(11)	2	2	10 1	(8)			Mißerfolg	
(12)	2	2	10 5	(8)			Mißerfolg	
(13)	3	0	14 1	-	2	-2	Extrapolation	
(14)	3	1	16 1	(13)			Mißerfolg	
(15)	3	1	12 1	(13), (8)			Erfolg, Mißerfolg	
(16)	3	2	12 -1	(15)			Mißerfolg	
(17)	3	2	12 3	(15)			Mißerfolg	
(18)	4	0	10 3	-	2	-2	Rücksetzung	
(19)	4	1	12 3	(8)			Mißerfolg	
(20)	4	1	8 3	(8)			Mißerfolg	
(21)	4	2	10 1	(8)			Mißerfolg	
(22)	4	2	10 5	(8)			Mißerfolg	
(23)	5	0	10 3	-	1	-1	Schrittweiten halbiert	
(24)	5	1	11 3	(8)			Mißerfolg	
(25)	5	1	9 3	(8)			Erfolg	
				(23), (8)			Erfolg, Erfolg	
				-	-1	-1	Extrapolation	

Strategie von Hooke + Jeeves  
(pattern search) 1961



# Rosenbrock rotating coordinates (1960)

Grobschema

- ① Start mit Koord.  $v_i$   
feste Schrittweite

bei Erfolg: sofort realisieren und Schrittweite für nächste Runde vergrößern

$$s_i^{(k+1)} = 3 s_i^{(k)}$$

bei Mißerfolg: kein Versuch in Gegenri.

$$s_i^{(k+1)} = -\frac{1}{2} s_i^{(k)}$$

- ② Sobald in jeder  $R_i$  mindestens ein Erfolg und danach ein Mißerfolg registriert wurde (in der Regel erst nach mehreren Zyklen):

Orthonormierung: never set von Richtungen

Sei  $d_j^{(k)}$  der herantschritt in  $R_i$ :  $v_j^{(k)}$

$$\text{und } a_i = \sum_{j=1}^n d_j^{(k)} v_j^{(k)}$$

$$\text{dann } w_i = a_i$$

$$w_i = a_i - \sum_{j=1}^{i-1} (a_i^T v_j^{(k+1)}) v_j^{(k+1)} \quad \forall i=2 \dots n$$

$$v_i^{(k+1)} = w_i / \|w_i\|$$

Gram-Schmidt-Ortho.

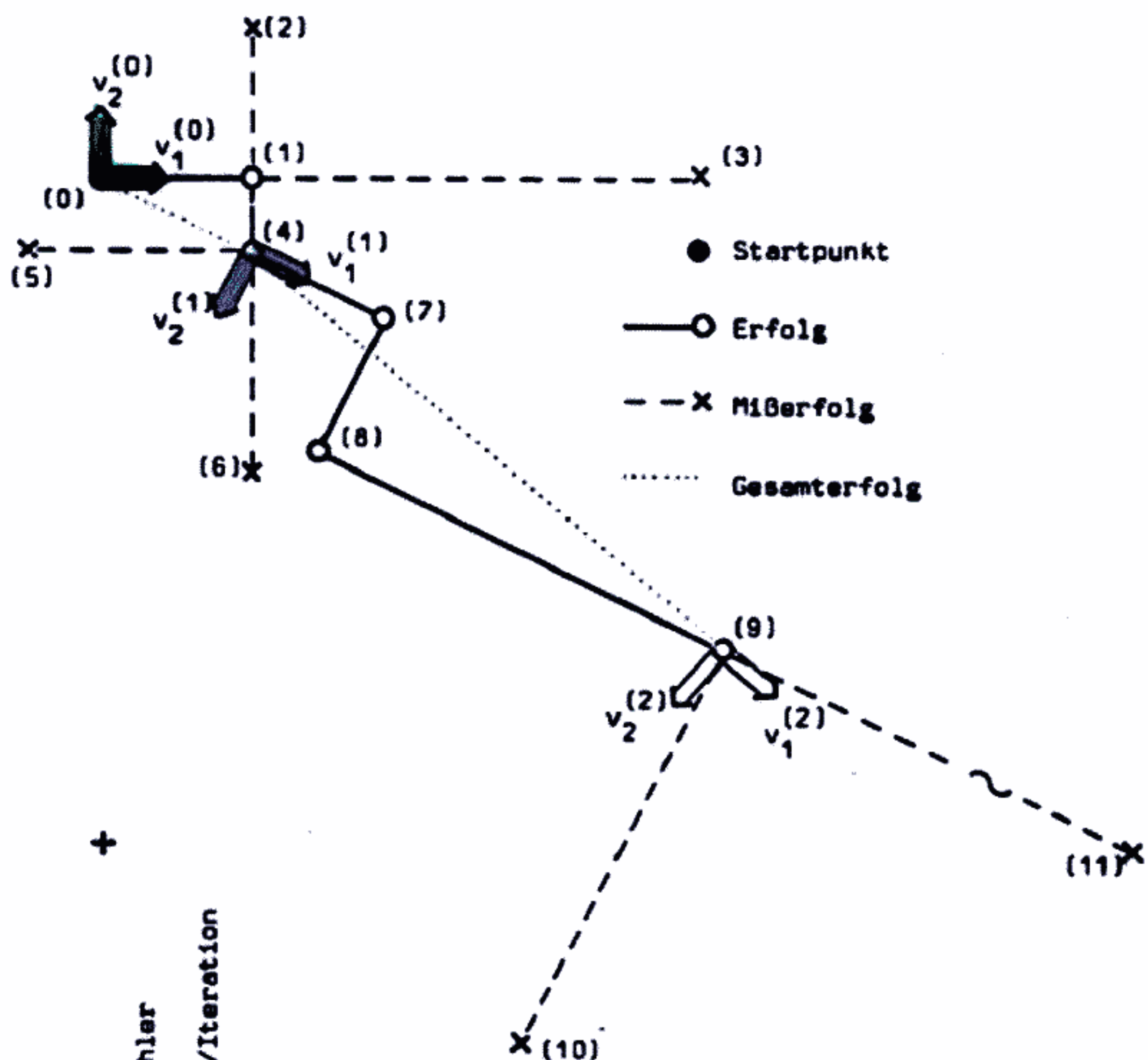
$\Theta(n^3)$

- ③ Stop, wenn  $\|a_1\| < \epsilon$  und  $\|a_2\| > 0.3 \|a_1\|$

rotating coordinates  
1960

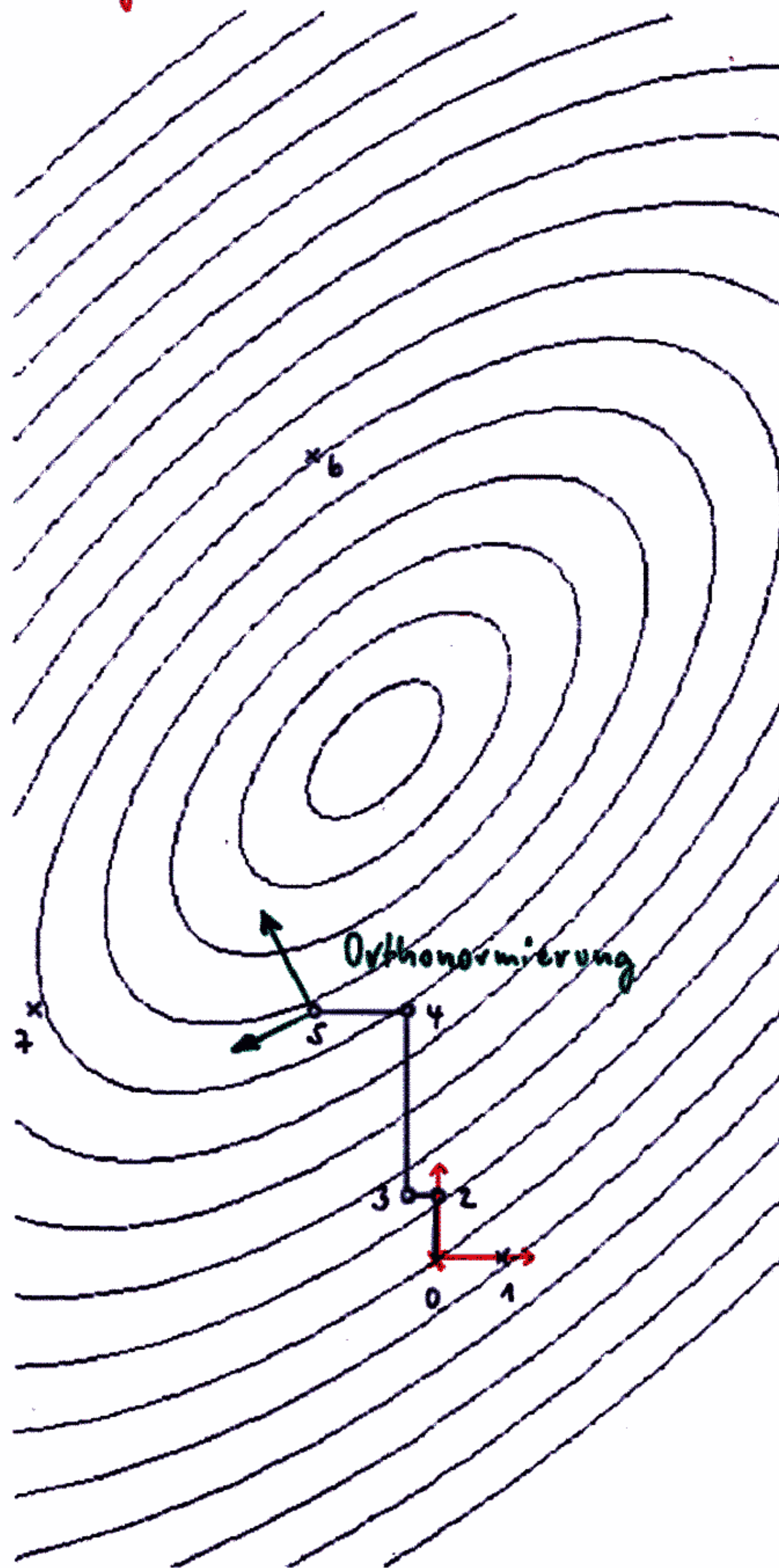
Skizze 3.7

Strategie von Rosenbrock



Nummerierung	Iterationszähler k	Probenzähler/Iteration nl+i	Variablen- werte		Schritt- weiten		Bemerkungen
			$x_1$	$x_2$	$s_1$	$s_2$	
(0)	0	0	0	9	2	2	Startpunkt
(1)	0	1	2	9	2		Erfolg
(2)	0	2	2	11		2	Mißerfolg
(3)	0	3	6	9	6		Mißerfolg
(4)	0	4	2	8		-1	Erfolg
(5)	0	5	-1	8	-3		Mißerfolg
(6)	0	6	2	5		-3	Mißerfolg
(7)	1	0	2	8	2	2	Orthonormierung und Übertrag
(8)	1	1	3.8	7.1	2		Erfolg
(9)	1	2	2.9	5.3		2	Erfolg
(10)	1	3	8.3	2.6	6		Erfolg
(11)	1	4	5.6	-2.7		6	Mißerfolg
(12)	1	5	24.4	-5.4	18		Mißerfolg
(13)	2	0	8.3	2.6	2	2	Orthonormierung und Übertrag

Strategie von Rosenbrock  
(rotating coordinates search) 1960



# rotating coordinates II

vereinfachte Orthonormierung nach Palmer  
 $\sigma(m^2)$

mit line searches:

Davies - Swann - Campey (DSC)

Behandlung von Neb. in Form von Ungleichungen  
 partielle innere Strafffunktion

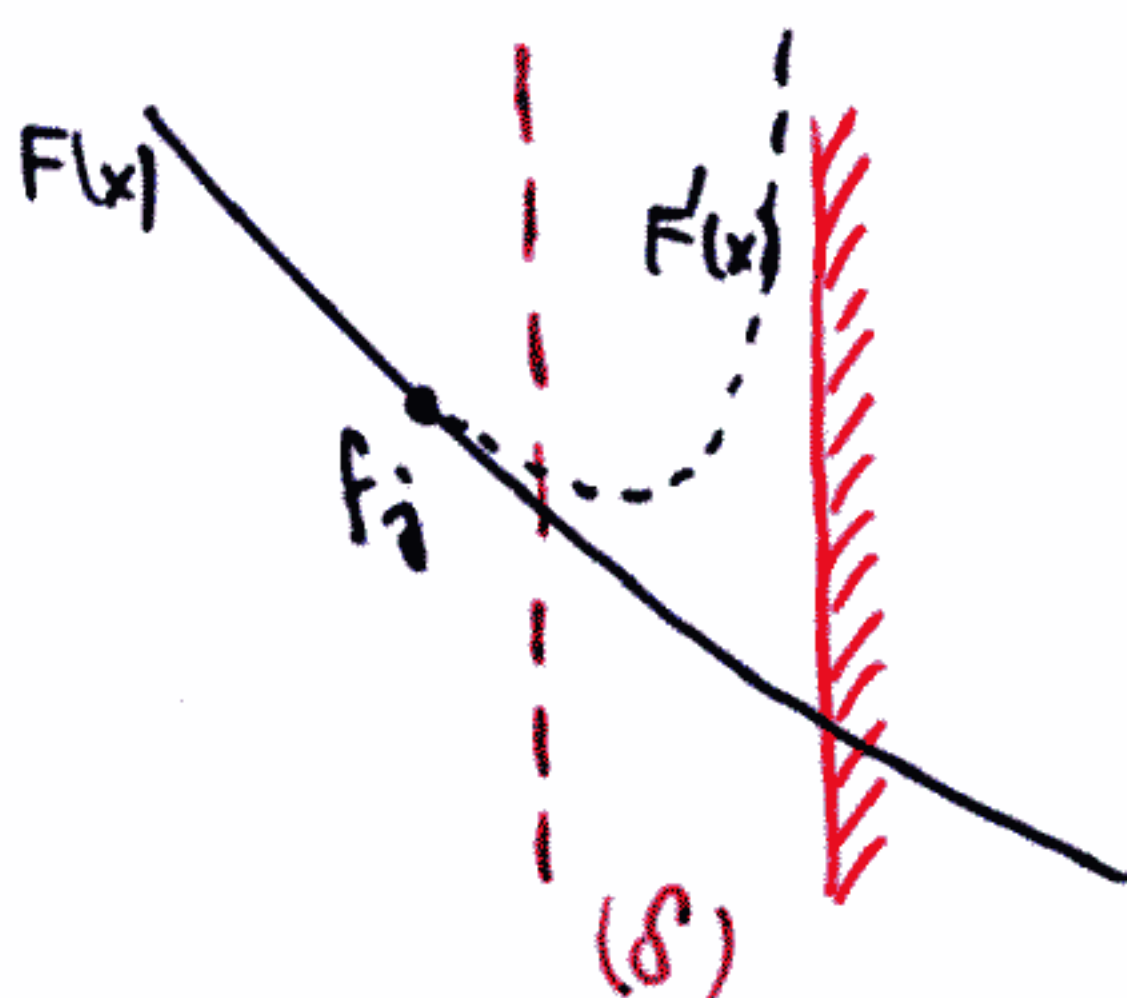
$$F'(x) = F(x) + \sum_{j=1}^m \phi_j(x) [f_j - F(x)]$$

wobei

$$\phi_j(x) = \begin{cases} 0 & \text{wenn } h_j(x) \geq \delta \\ 3\eta - 4\eta^2 + 2\eta^3 & 0 < h_j(x) < \delta \\ 1 & h_j(x) \leq 0 \end{cases}$$

$$\eta = 1 - \frac{1}{\delta} h_j(x)$$

$f_j = F(x)$  bei letztem Erfolg im Nicht-Grenzbereich  
 der Rechts.  $h_j(x)$

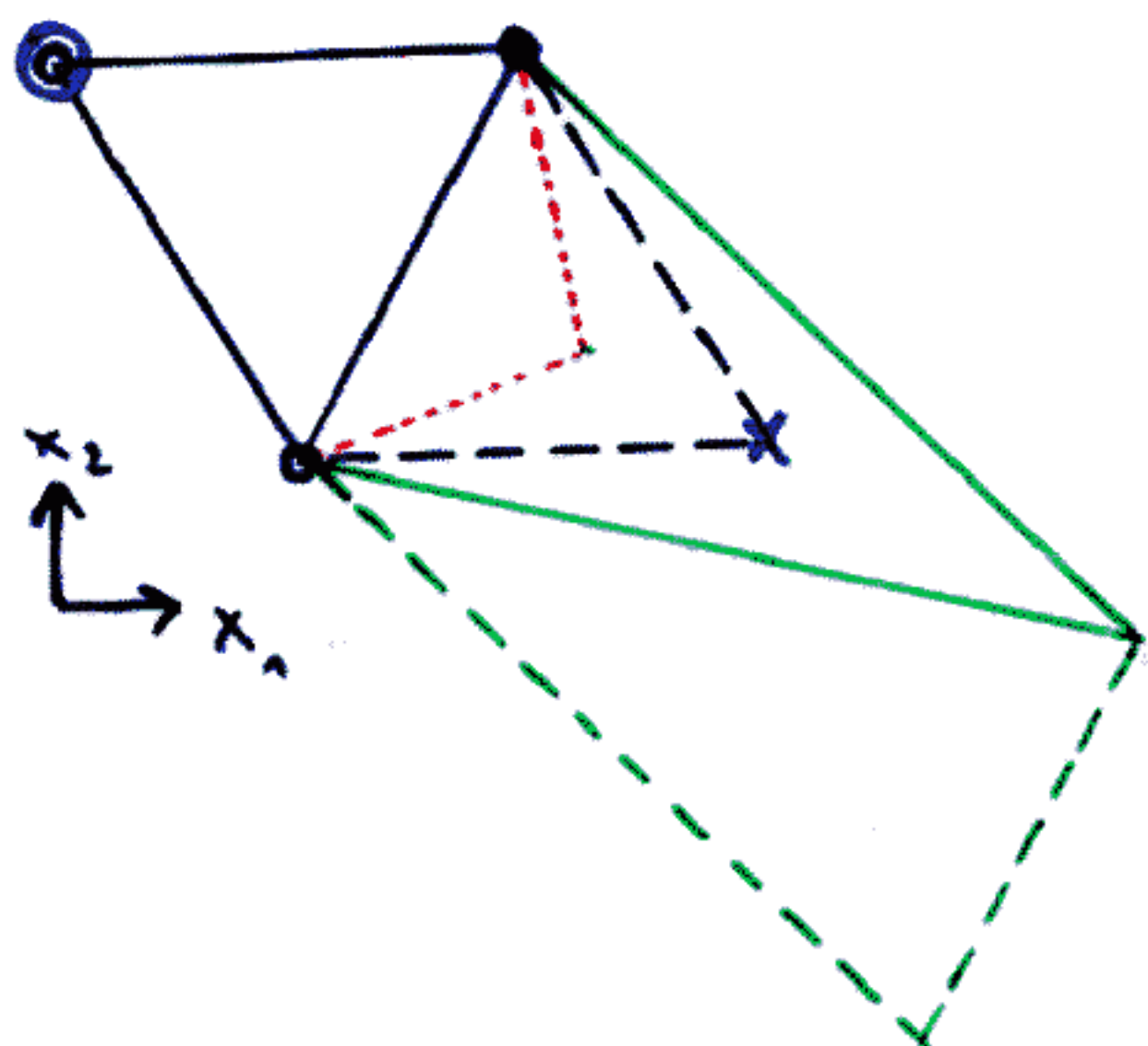


z.B.  $\delta = 10^{-4} f_i x$

# Simplex - Strategie (Polyeder-M.)

Nelder + Mead  
M. J. Box

( $\geq$ )  $n+1$  Eckpunkte ( $N$ )



Startsimplex

○ schlechteste Ecke

✗ Reflektion

(ggf. Expansion)

(ggf. Kontraktion)

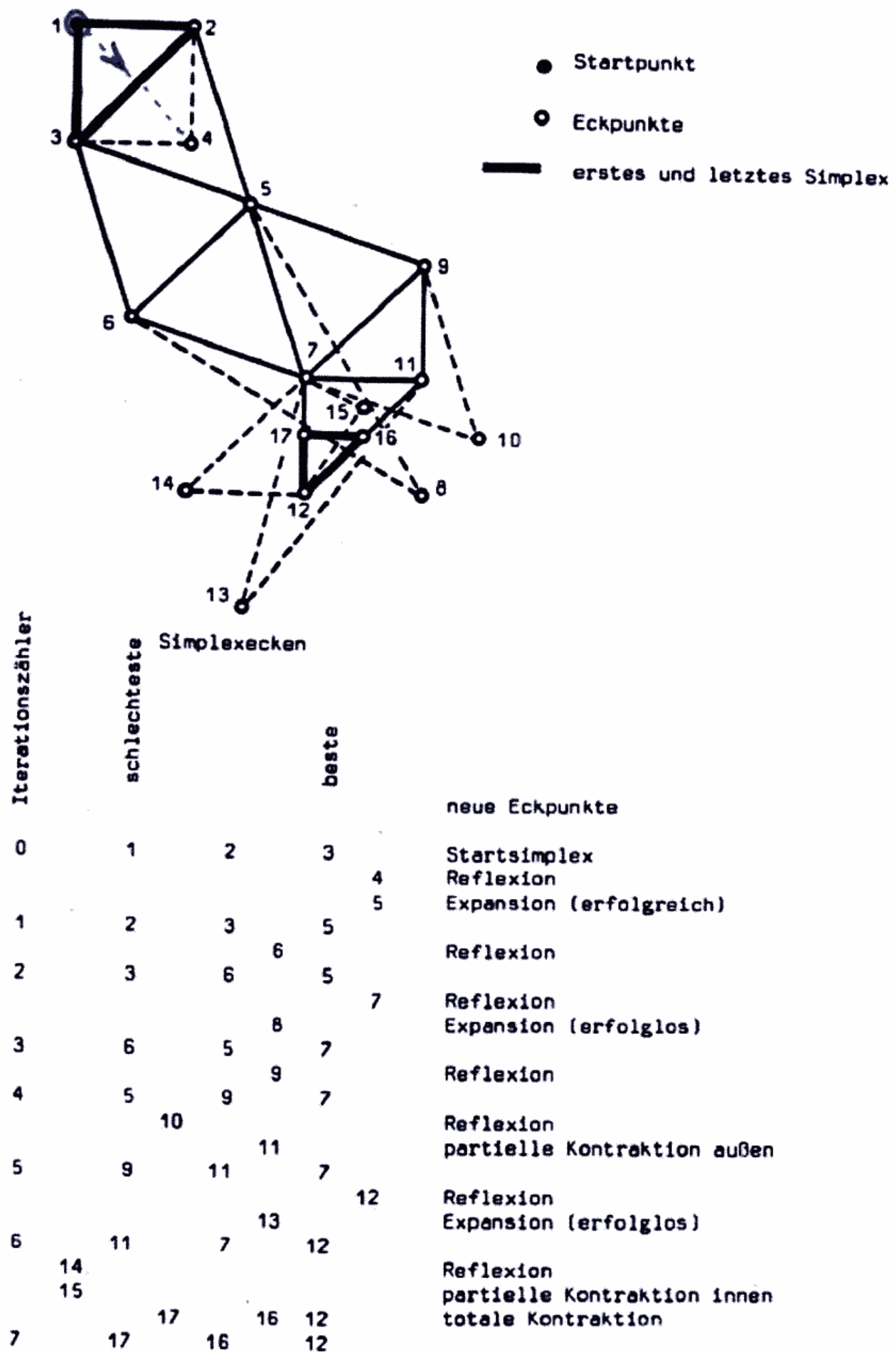
neues Simplex

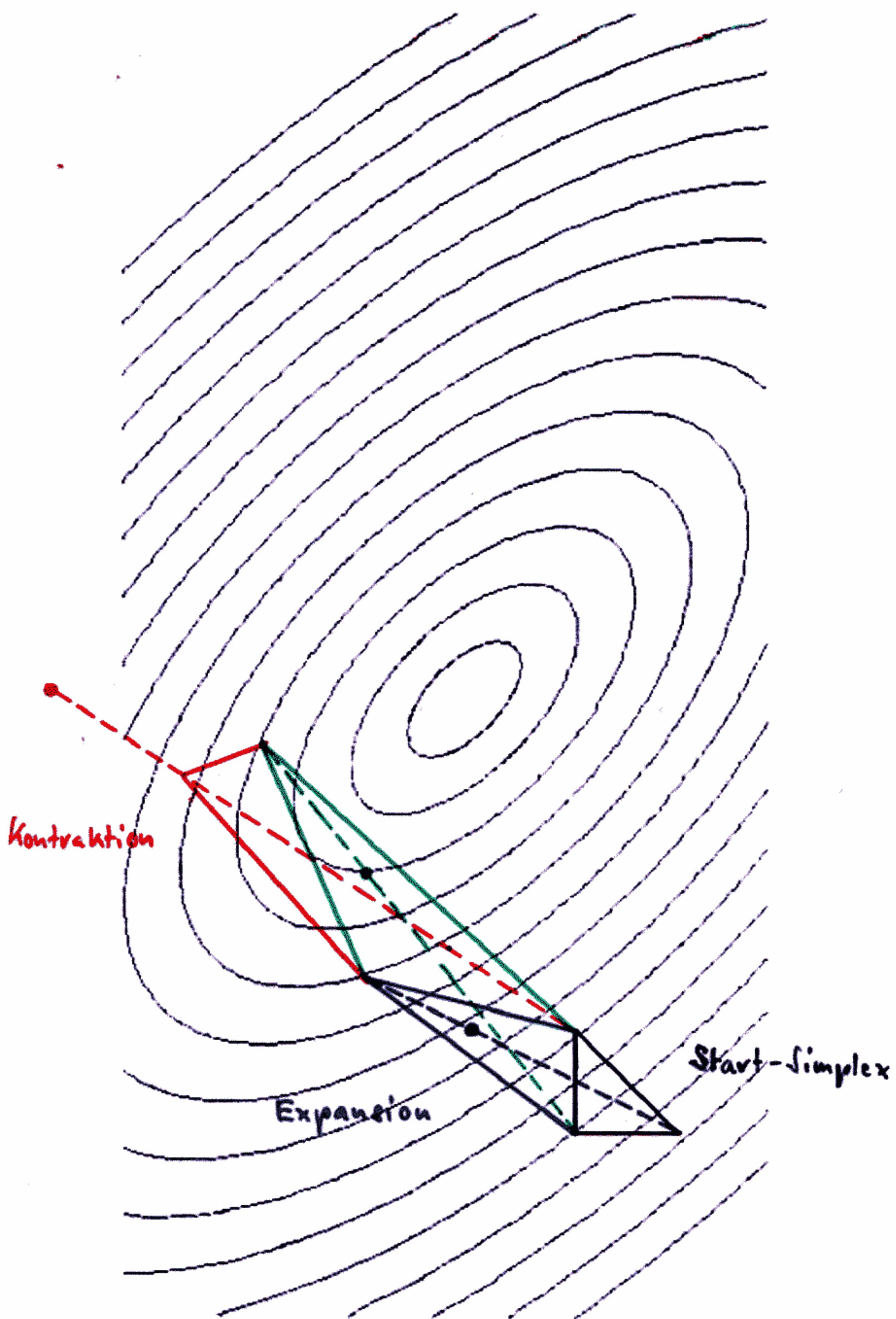
rein sequentielle Vorgehensweise  
mit Anpassung der Variabilität an Topologie

( $n+1$ ) - Strategie

## Simplex-Strategie von Nelder und Mead

1965





Strategie von Nelder + Mead  
(Simplex - Strategie) 1965